



中国科学院遥感与数字地球研究所  
Institute of Remote Sensing and Digital Earth, CAS

2016中国农业展望大会

# 基于遥感大数据的全球农情 遥感速报系统

吴炳方，闫娜娜

中国科学院遥感与数字地球研究所

2016年4月23日





# 提纲

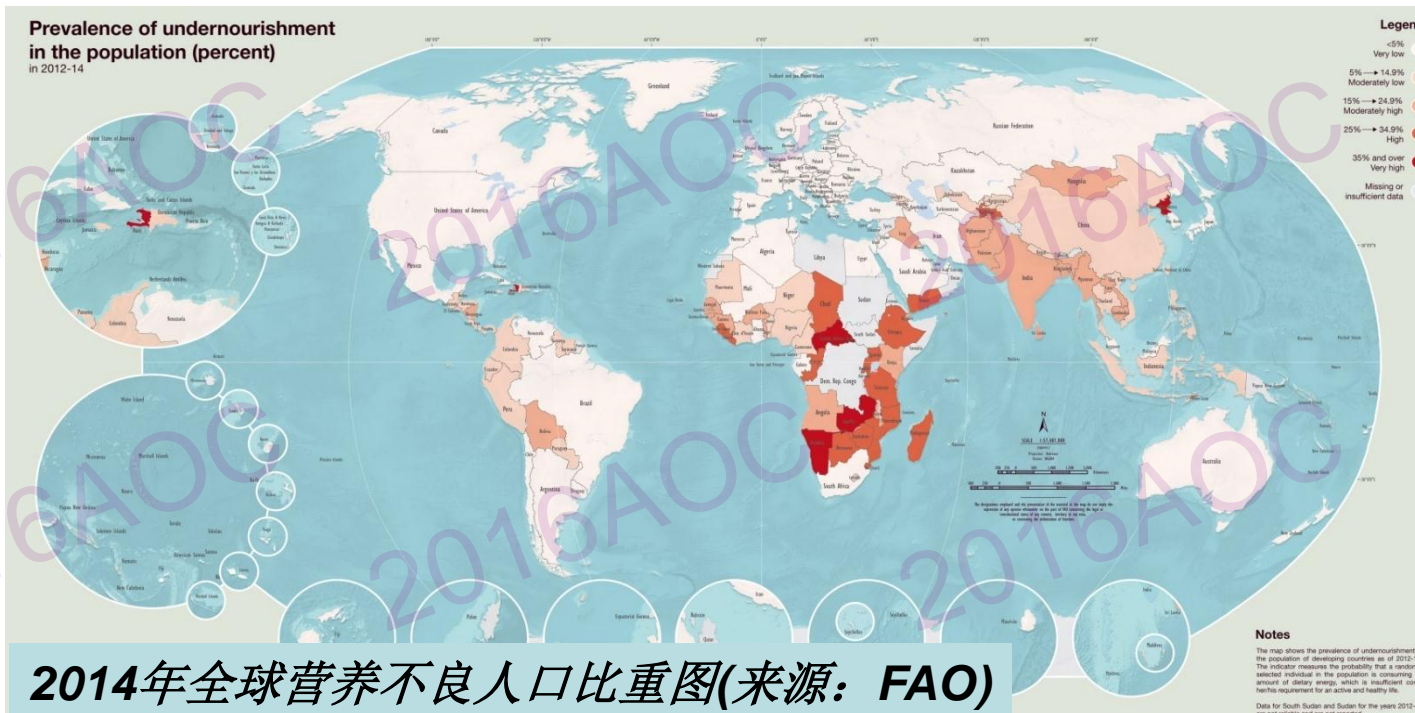
- 背景
- 大数据
- 方法
- 结果
- 云平台

# 农情遥感监测背景-全球粮食安全形势严峻

**人口压力：**2050年全球人口将达到96亿人，要养活这么多人，世界谷物与粮食至少需要增长42%与70%。（来源：FAO《迈向2050年的全球农业》，《如何在2050年养活世界》）。

**粮食供应现状：**世界粮食生产空间格局分布极不均衡，发达国家供过于求，而广大发展中国家供小于求，营养不良率高。

**全球粮食价格波动：**受操控的粮食价格波动剧烈，加剧粮食供应的不稳定性。



**气候变化：**气候变化诱发全球农业生产的资源禀赋格局发生变化，极端气候事件发生的机率增加，加剧粮食生产波动性，导致增长营养不良人口。

# 农情遥感监测背景-我国粮食进口持续增长

**人口压力:** 2030年，中国人口将达到15亿人，中国粮食需要在现有产量的基础上，增加30%才能养活15亿人。



**耕地资源:** 土地二调公布的中国耕地面积在增长，但是耕地资源体现低产田比例大(70%)、耕地质量退化面积大(40%)、污染耕地面积大(1.5亿亩)，有机质含量低、补充耕地等级低、基础地力低的特征。

**自给率下降:** 2013年底出台的中央一号文件将粮食总体自给率从95%调整到80%(口粮100%，谷物90%，粮食80%)。2015年全年粮食总进口量将再创新高，大豆进口量超过8000万吨，为国内大豆产量的6倍有余。[www.radi.cas.cn](http://www.radi.cas.cn)

# 农情遥感监测背景-粮食市场信息不对称

**农情信息的不透明性：**全球农情信息被少数国家垄断。

**粮食问题的差异性：**发达国家代表是粮食出口国的利益，而不是进口国，美国粮食出口价值400多亿美元。

**我国粮食安全保障的紧急性：**中国是粮食生产大国、消费大国、进口大国，预计到2030年进口5000亿美元，迫切需要打破美国农情信息的垄断。





# 大数据

# 农情遥感监测大数据

## • 遥感大数据

体量大

- 海量遥感传感器
- 分辨率逐步提高

多样性

- SAR、光学等多种传感器
- 原始数据、初级产品等

快速处理

- 地面接收后需快速处理分发

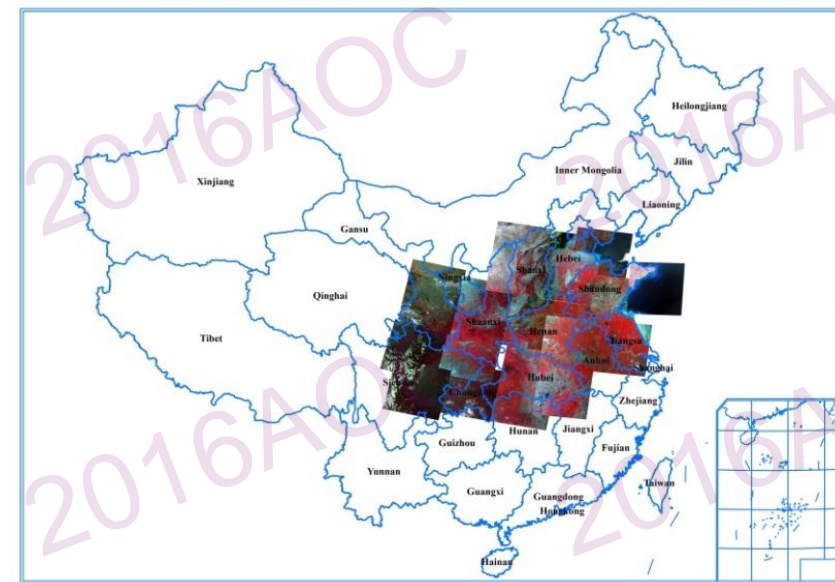
高价值

- 从遥感数据中挖掘高价值信息



# 农情遥感监测大数据

- 多源时间序列遥感数据-自动处理
  - 环境星A、B星（HJ-1 CCD）、高分数据（GF-1/2）、FY-3A MERSI、MODIS、TRMM、PROBA-V等
  - 平均每一期全球农情遥感速报（CropWatch）所用到的遥感数据量约为4TB



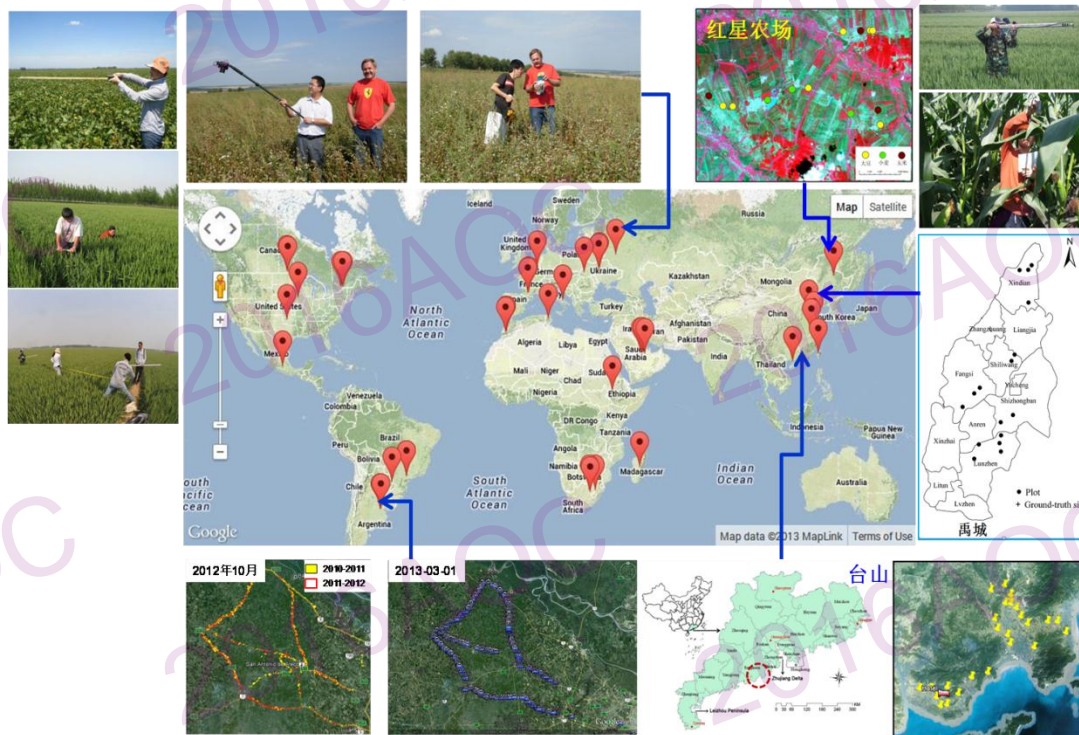
# 农情遥感监测大数据

- 获取覆盖10个国家的数十万张地面采样照片，每张照片记录不同作物类型的比例，记录数为百万条
- 国内农气站点数据
- 全球气象站点气温数据
- 灌溉、施肥等管理信息，土壤信息
- 通过网络获取的全球范围内的农业灾害信息



# 农情遥感监测大数据

- 全球验证数据
  - 与全球26个JECAM站点共享的地面观测资料，开展全球尺度的精度验证



**CropWatch 全球验证站点**



# 粮食价格大数据

- 汇聚了4种作物类型全国以及国际主要粮食交易平台多种  
  价格数据，每天更新

## 小麦数据

- 01-国内收购价(白小麦)
- 02-国内收购价(红小麦)
- 03-国内收购价(混合麦)
- 04-国内批发价(白小麦)
- 05-国内批发价(红小麦)
- 06-国内批发价(混合麦)
- 07-国内期货\_郑商所强麦
- 08-国内期货\_郑商所强麦3
- 09-国内期货仓单\_优质强麦
- 10-国际期货\_连续1
- 11-国际期货\_连续3
- 12-政策粮批发价

## 大豆数据

- 01-国内收购价
- 02-国内批发价
- 03-国内期货\_豆一连续
- 04-国内期货\_豆一指数
- 05-国内期货\_豆二指数
- 06-国内期货仓单\_大连豆一
- 07-国际期货\_连续1
- 08-国际期货\_连续3

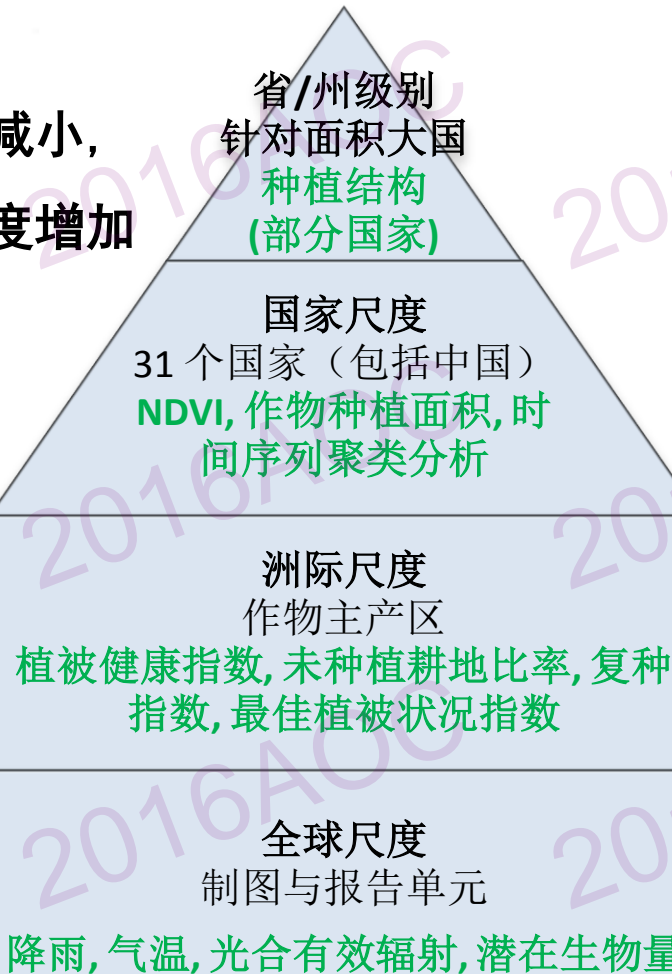
## 月度分析数据

- 01-豆一连续
- 02-豆二连续
- 03-豆一指数
- 04-豆二指数
- 05-国际大豆消化率
- 06-国际小麦消化率
- 07-国内小麦消化率
- 08-混合麦国内收购价
- 09-大豆国内收购价

# 全球农情遥感速报技术体系

*CropWatch*

空间尺度减小，  
分析精细度增加



## ► 4种空间尺度

- 全球、洲际、主产  
国、省/州, 覆盖31  
个作物主产国(占全  
球80%粮食产量)

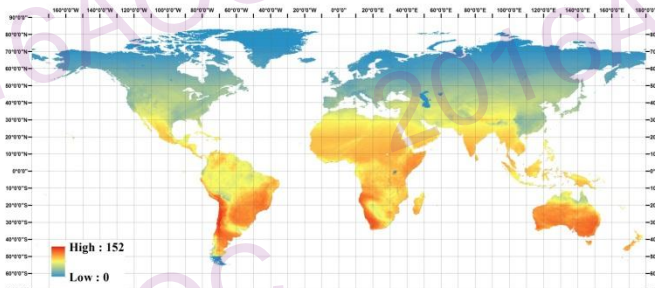
## ► 5种时间分辨率

- 10/16天: NDVI, 长  
势
- 季度/生长季: CI,  
CALF, VHI, VCIx,  
面积, 单产, 总产
- 年: 复种指数



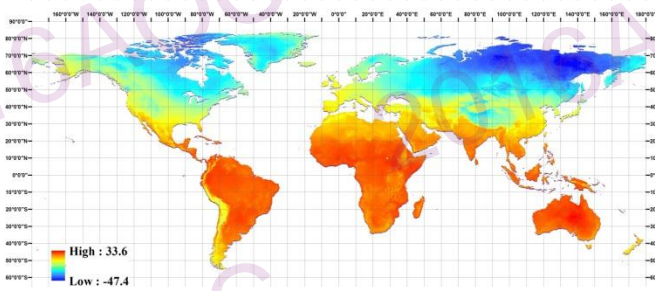
# 监测方法

# 全球农业气象数据



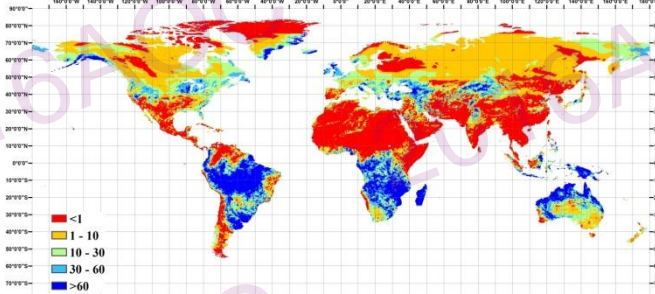
## 光合有效辐射 (PAR)

基于NASA小时尺度的全球PAR产品，  
生产了**2001-2015年旬PAR**数据，  
空间分辨率 **$0.25^{\circ} \times 0.25^{\circ}$** ；



## 气温产品

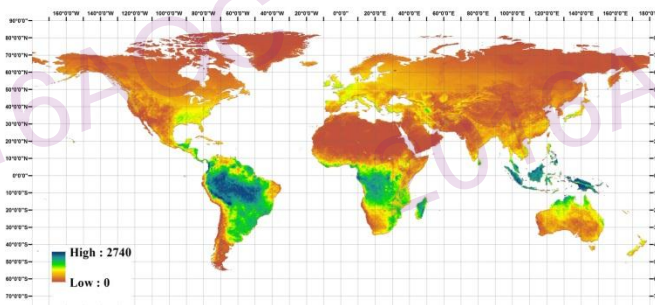
由美国国家气候中心全球地表日数据集（GSOD）是站点气温数据  
空间分辨率： **$0.25^{\circ} \times 0.25^{\circ}$** ，  
时间分辨率：2001年至2015年，旬



## 全球降雨产品

基于TRMM遥感降水数据集和气象存档与反演系统（MARS）产品生产

- 空间分辨率： **$0.25^{\circ} \times 0.25^{\circ}$**
- 时间分辨率：**2001-2015年，旬**



## 潜在生物量

综合考虑温度和降水两个环境要素，  
基于Lieth “迈阿密” 模型计算。

- 空间分辨率： **$0.25^{\circ} \times 0.25^{\circ}$**
- 时间分辨率：**2001年至2015，4个月**

## 全球PAR产品 (遥感)

## 全球气温产品 (气象差值)

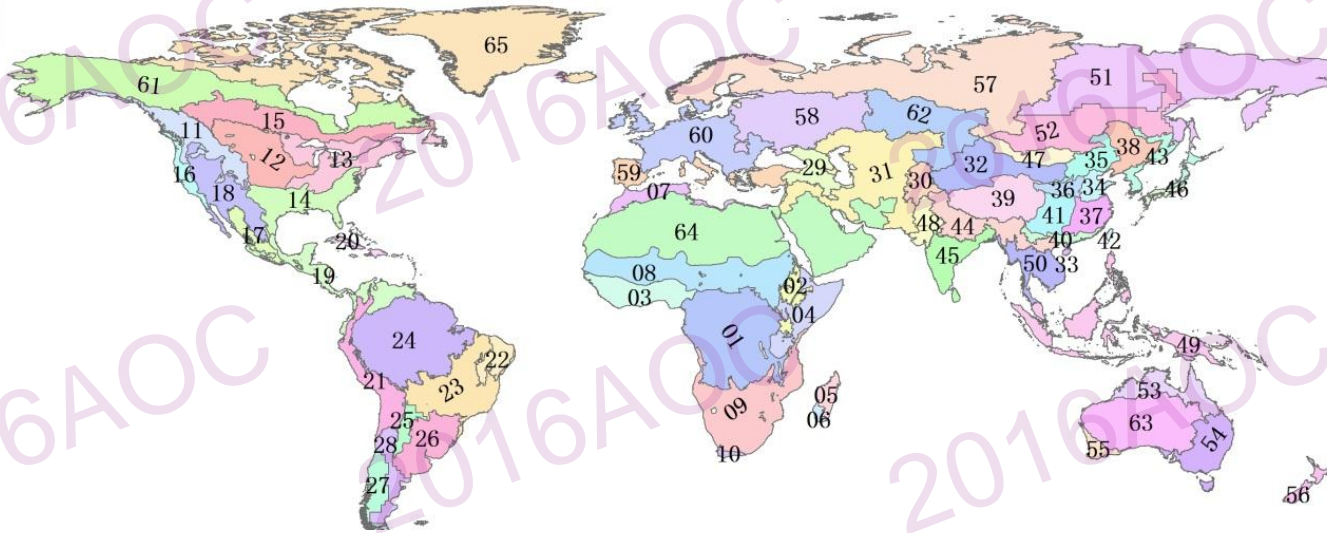
## 全球降雨产品 (遥感)

## 潜在生物量 (遥感)

# 全球农气条件分析方法



综合考虑全球生态系统分区、Köppen气候带划分和种植结构的差异，将全球划分为65个制图与报告单元（MRU）



Wu等, Global Crop Monitoring: A Satellite-Based Hierarchical Approach, 2015.

利用降雨、气温、光合有效辐射以及潜在生物量等农业气象指标分析各**MRU**的农气条件异常及其对粮油作物可能产生的影响。

# 全球农气条件异常状况分析

[www.radi.cas.cn](http://www.radi.cas.cn)

# 全球大宗粮油作物主产区农情遥感监测



## 农情指标

归一化植被指数  
(NDVI)

植被健康指数  
(VHI)

最佳植被状况指数  
(VCI<sub>x</sub>)

耕地种植比例  
(CALF)

复种指数  
(CIX)



全球农气条件时间序  
列聚类分析

农情指标与农气条件的监测包括四个监测期：

1-4月(JFMA),

4-7月(AMJJ),

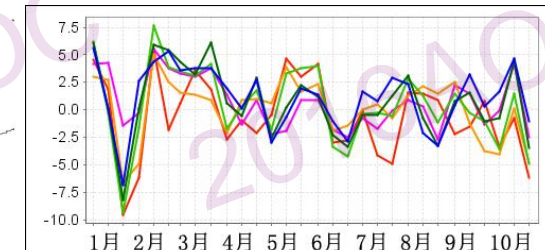
7-10月(JASO),

10-1月(ONDJ)

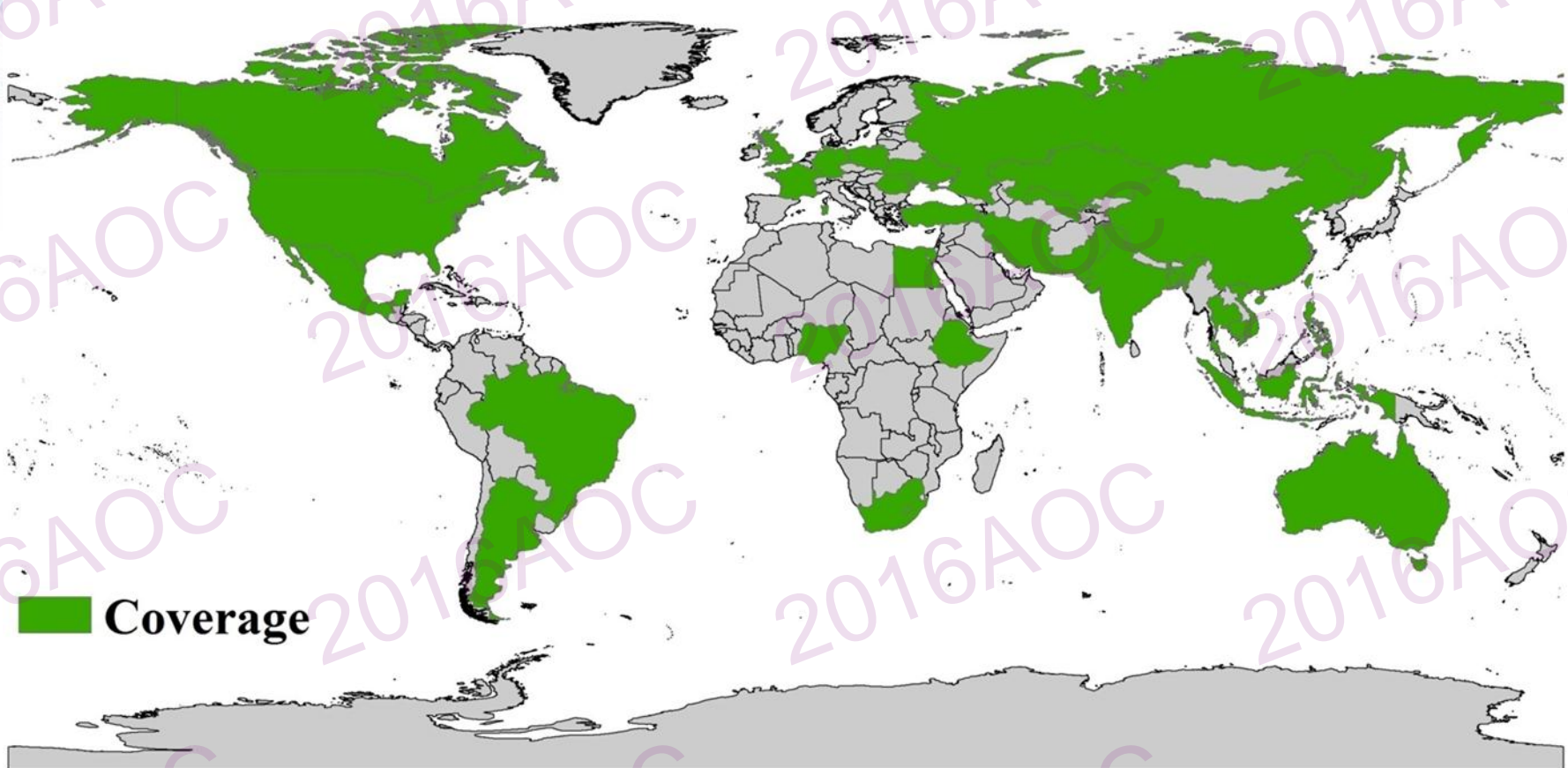


**时间序列聚类分析方法：**自动或半自动地比较时间序列栅格影像中各像元的时间序列曲线，并且把具有相似特征曲线的像元归为同一类别，最终输出不同的分类结果。

### 时间序列聚类分析



# 31个主产国农情状况与产量



- 长势监测综合了NDVI距平、作物生长过程曲线、最佳植被状况指数、植被健康状况指数等多种长势监测指标，综合判断作物长势

# 基于大数据技术的全球大宗粮油作物面积估算方法



作物种植结构

作物种植面积

**作物种植结构**: 指在某一行政单元或区域内，每种作物的播种面积占总播种面积的比例。仅用于中国、美国、澳大利亚、加拿大和埃及等部分国家的作物种植面积估算。

对于中国、美国、澳大利亚、加拿大和埃及：

$$\text{作物的播种面积} = \text{耕地面积} \times \boxed{\text{作物种植成数}} \times \boxed{\text{作物种植结构}}$$

环境星/GF-1或MODIS数据+决策树分类

对其他**26个主产国中的其他国家**，采用耕地种植比率（CALF）数据估算四种粮油作物（玉米、小麦、大豆和水稻）的种植面积，公式如下：

$$\text{面积}_i = a + b \times \text{CALF}_i$$

其中a和b 是基于FAO统计数据或各国面积数据通过线性回归得到的系数。

# 基于大数据技术的全球大宗粮油作物面积估算方法

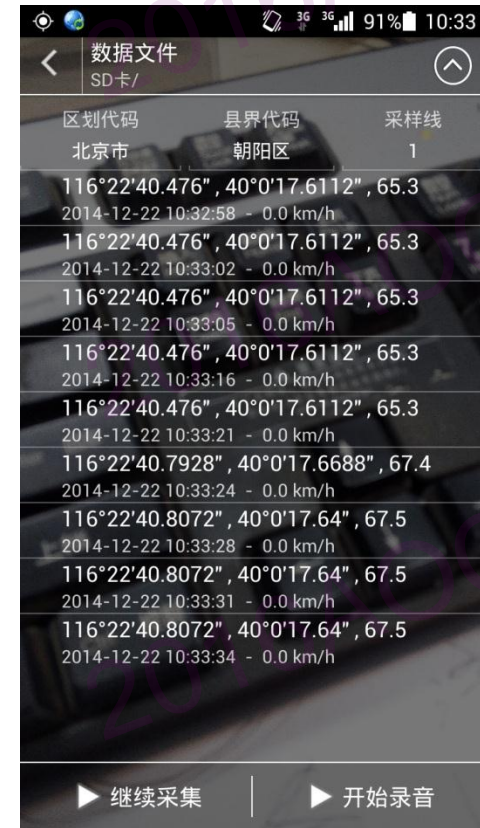


**作物种植结构:** 指在某一行政单元或区域内，每种作物的播种面积占总播种面积的比例。该数据依赖数十万张拍摄农田的照片，采用大数据分析技术，提取出不同作物类型的种植比例。

2014年将PC端作物种植结构采集系统升级至移动端，且能够实现照片/数据自动上传



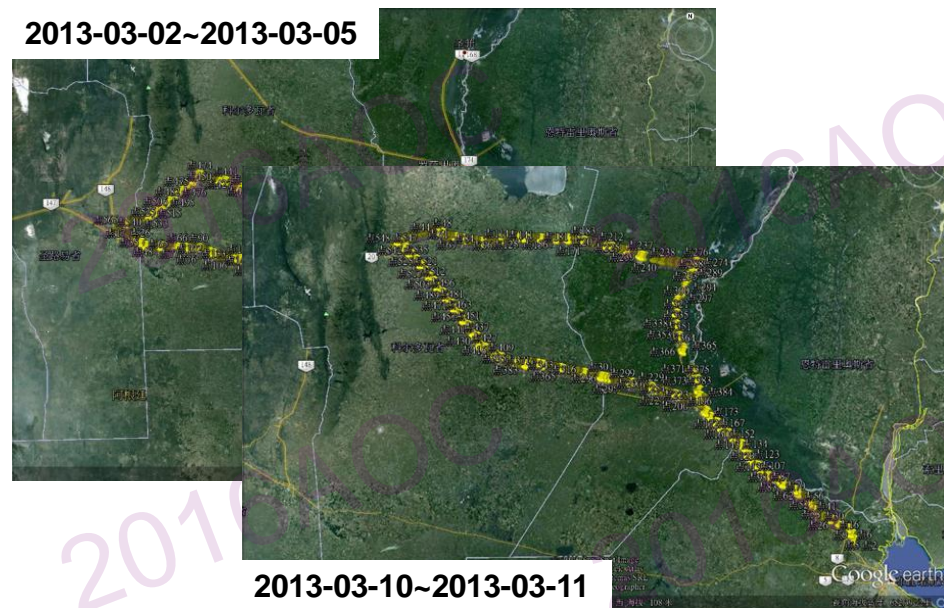
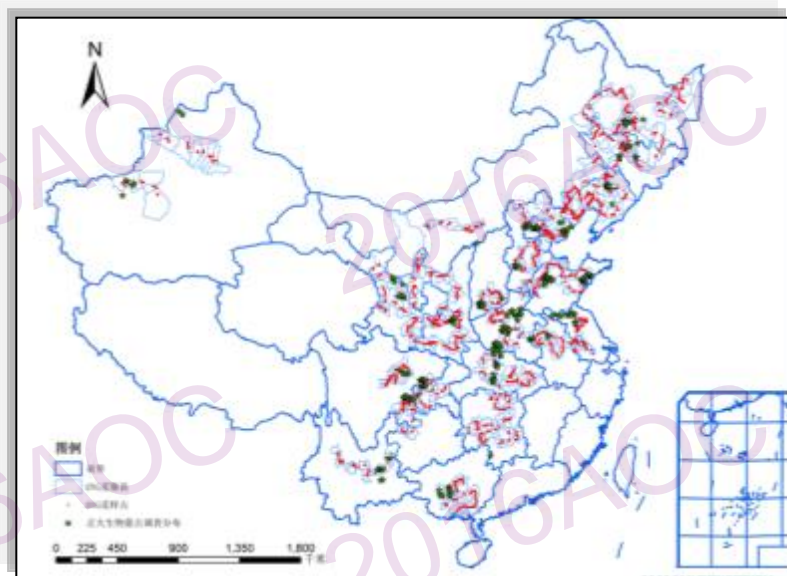
升级



# 基于大数据技术的全球大宗粮油作物面积估算方法



- 2001年至今每年均在全国范围内开展作物种植结构调查，结合耕地种植比例监测结果开展作物种植面积估算，对多年度海量照片进行分析，挖掘出作物种植结构变化信息；
- 2013年起逐步通过拓展合作的方式在国外获取相关数据，下图（右）为2013年在阿根廷开展作物种植结构调查的路线。



# 全球大宗粮油作物产量估算方法



## 作物种植结构

## 作物种植面积

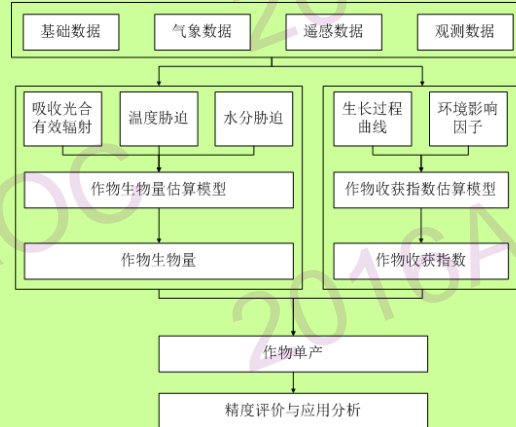
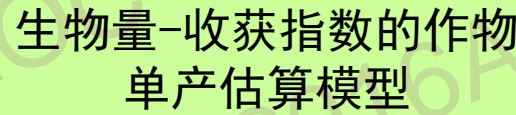
## 作物单产

## 基于农业气象模型的作物 单产估算模型

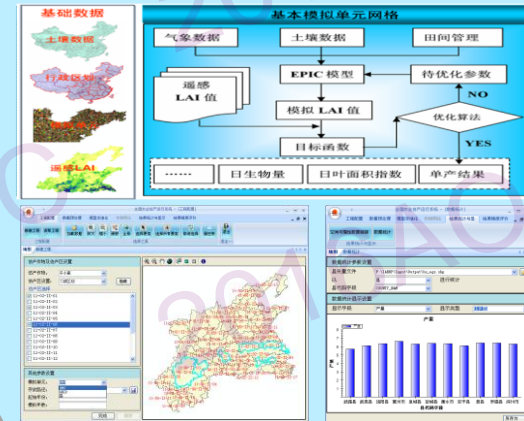


## 对于中国：

单产是基于农业环境指标、农情遥感指标与地面农业气象因子观测数据，由植被指数模型、农业气象模型以及遥感生物量-收获指数模型等多种方法融合计算得到。



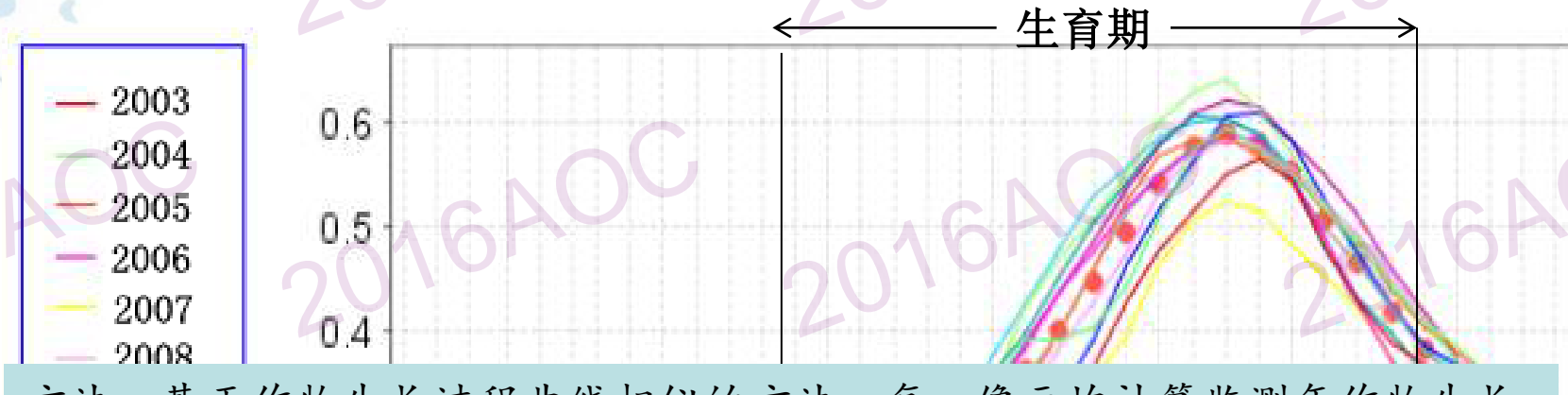
## 基于遥感信息同化生长模型的作物单产模型



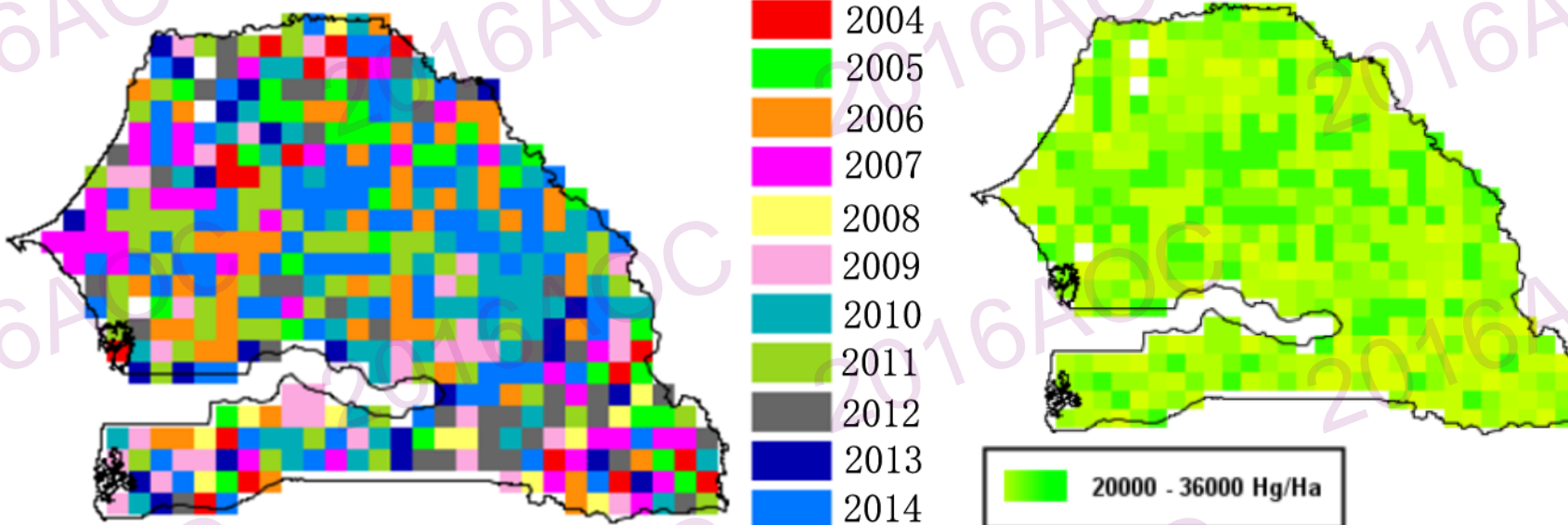
# 基于大数据的全球大宗粮油作物产量估算方法



## ➤ 基于大数据技术的NDVI过程线相似性非参数模型



方法：基于作物生长过程曲线相似的方法，每一像元均计算监测年作物生长过程曲线与历年生长曲线的相似性与变幅，实现基于大数据技术的单产估算



# 全球大宗粮油作物产量估算方法

**基于NDVI过程线的单产变幅：**对于其他30个粮食主产国，单产的变幅是通过建立当年的NDVI与上一年的NDVI时间序列函数关系获得。计算公式如下：

$$\Delta \text{单产}_i = f(\text{NDVI}_i, \text{NDVI}_{i-1})$$

作物总产

对于中国，各种作物的总产通过单产与面积的乘积进行估算：

$$\text{总产} = \text{单产} * \text{面积}$$

对于其他国家，通过作物单产变幅和面积变幅计算总产，计算公式如下：

$$\text{总产}_i = \text{总产}_{i-1} * (1 + \Delta \text{单产}_i) * (1 + \Delta \text{面积}_i)$$

式中*i*代表关注年份， $\Delta \text{单产}_i$ 和 $\Delta \text{面积}_i$ 分别为当年单产和面积相比于上一年的变化比率。

# 大宗作物长势遥感综合监测方法

## ➤ 多种指数和长势监测方法综合评估

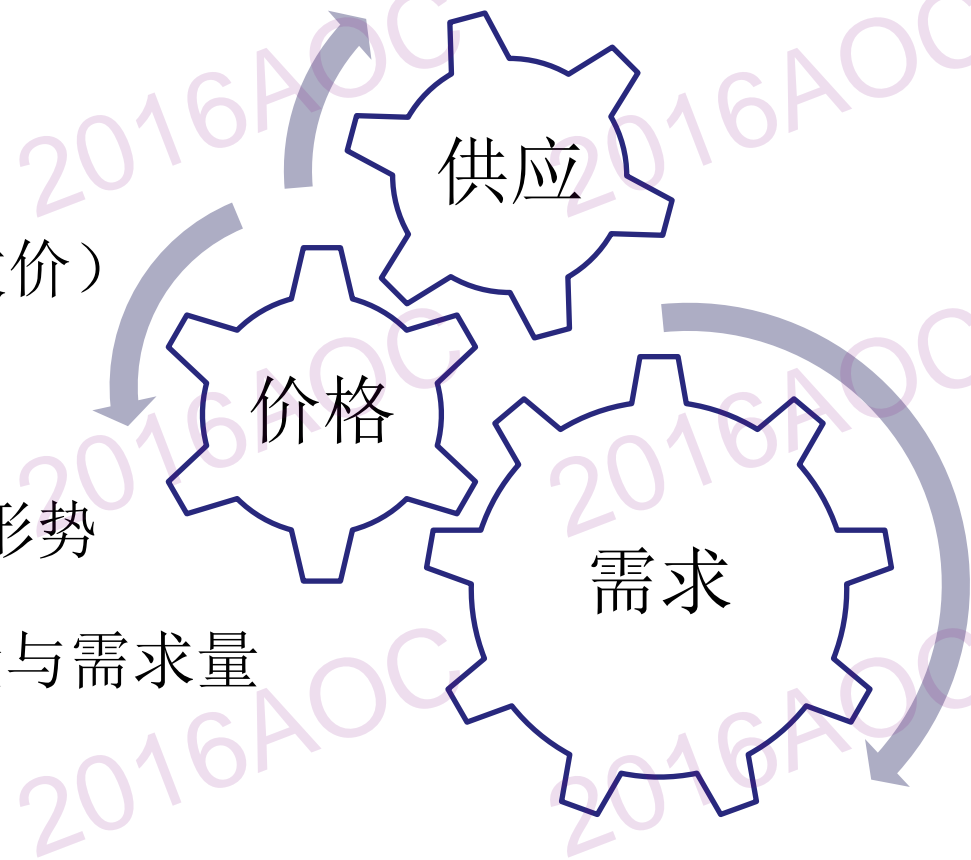
- 基于NDVI的作物生长过程线；
- 基于NDVI的作物长势实时对比图；
- 基于时间序列植被指数距平的作物长势聚类分析方法；
- 最佳植被状况指数长势监测方法；
- 基于作物健康指数的农作物水分胁迫状况监测；
- 区分雨养农业与灌溉农田的作物长势分析方法；
- 结合耕地种植比例的作物长势修正方法

# 大宗作物价格预测方法

## ➤ 基于大数据分析技术的粮食价格预测

### ➤ 输入数据包括：

- 历史粮食价格  
(期货、收购价、批发价)
- 历史粮食产量
- 当前-未来粮食生产形势
- 粮食库存量、贸易量与需求量

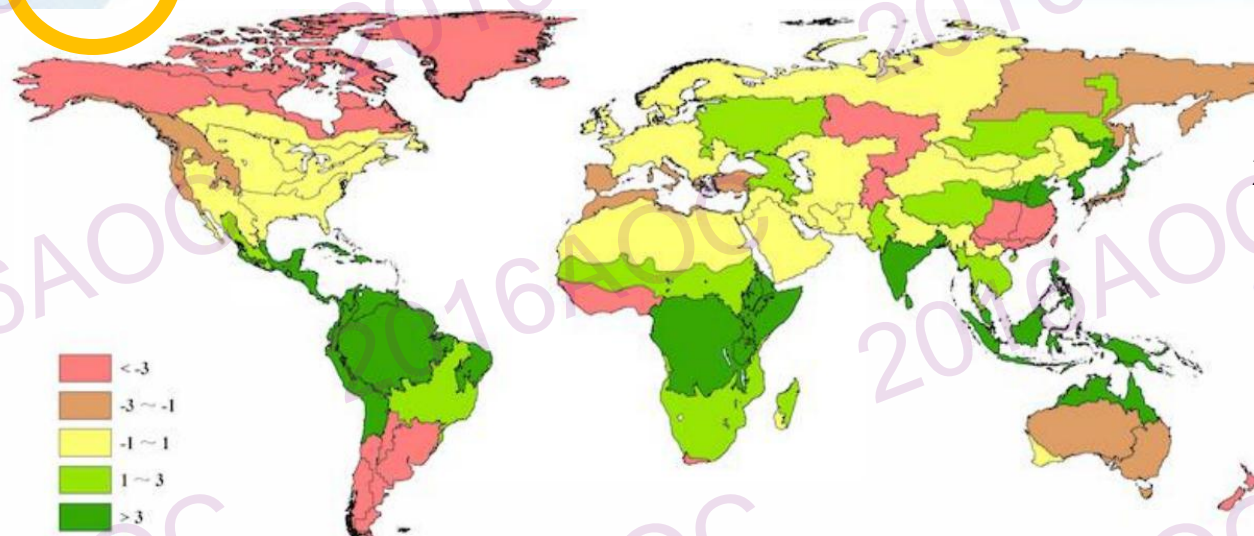




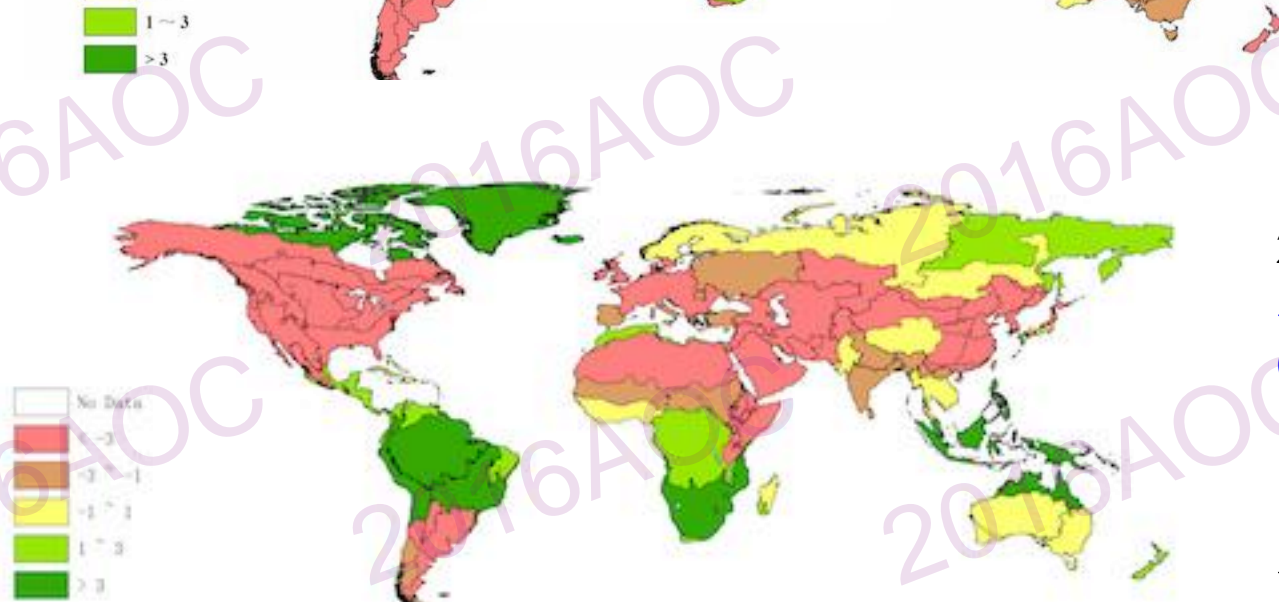
# 监测结果

# 全球农气条件监测结果

光



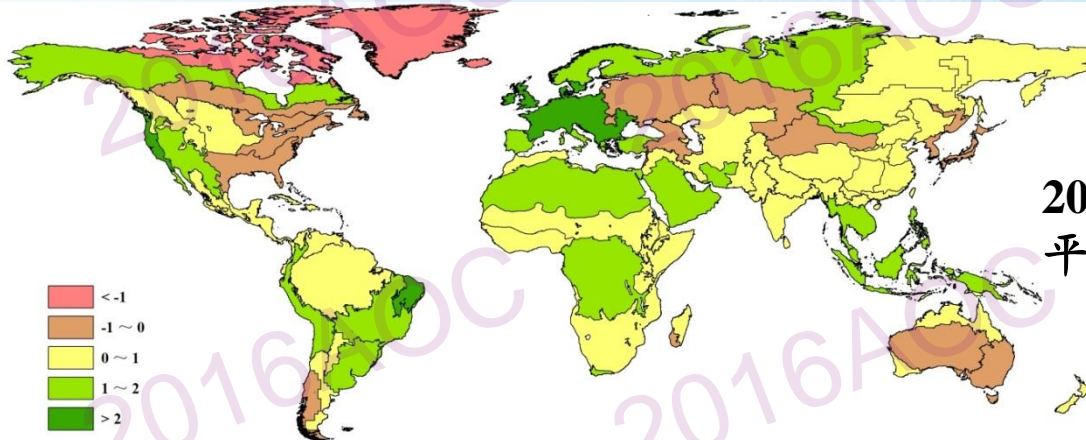
赤道地区光合有效辐  
射显著偏高



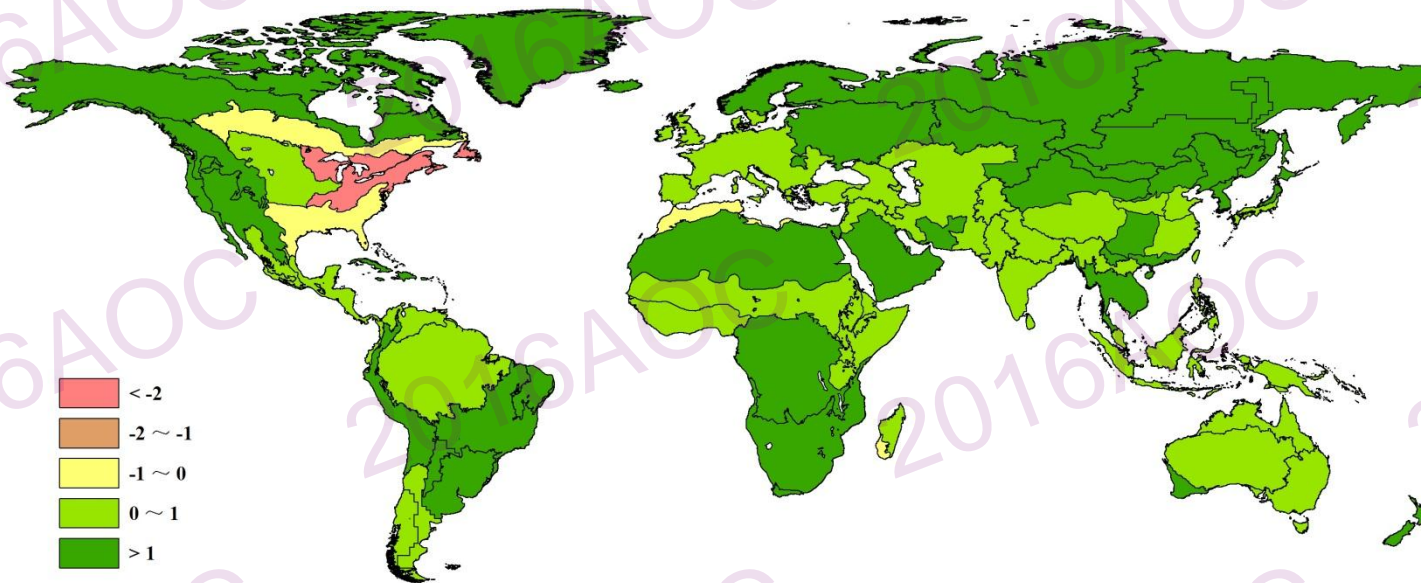
北美、欧洲、中亚、  
中国等地光合有效辐  
射显著偏低

# 全球农气条件监测结果

温

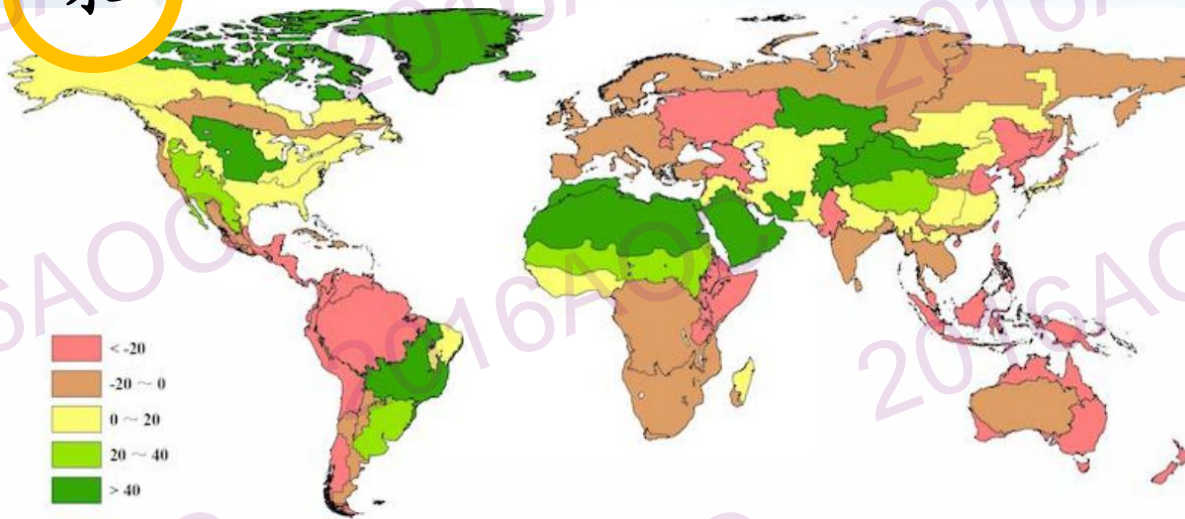


- 2014年10月至2015年1月期间，欧洲气温偏高，北美洲偏低；
- 2015年1月至4月，全球气温总体偏高，仅美国东部气温显著偏低

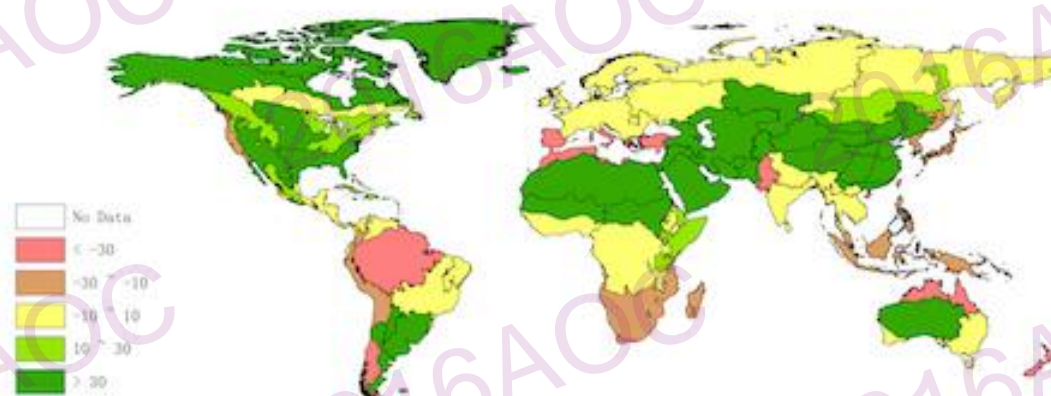


# 全球农气条件监测结果

水



2015年7月至2015年10月降  
水距平 (%)

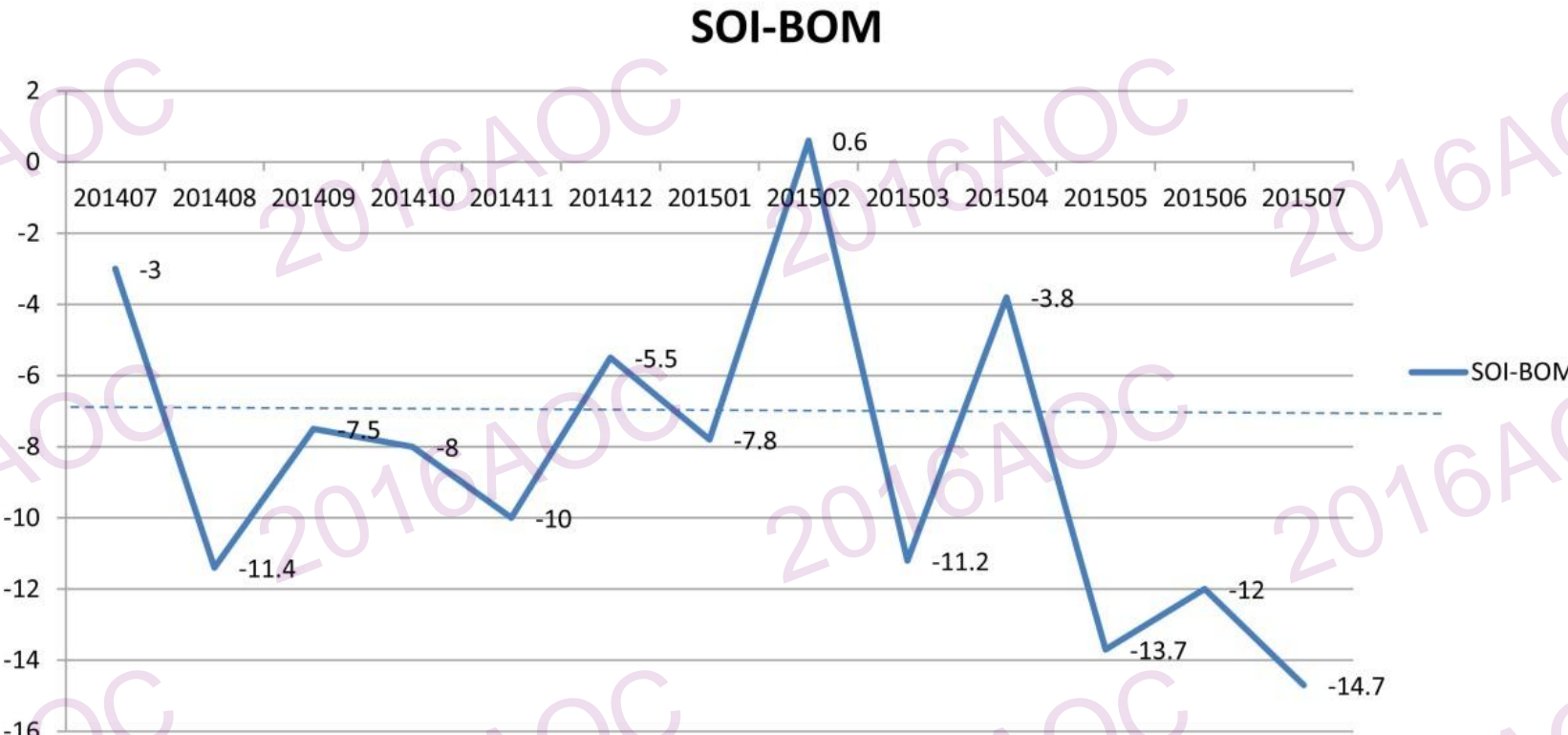


2015年10月至2016年1月降  
水距平 (%)

- 受厄尔尼诺影响，东南亚、非洲南部持续受旱

# 全球农气条件监测结果

- 厄尔尼诺现象显著



- 2015年澳大利亚旱灾、泰国干旱、印度高温、美国西部持续暴雨、中国南涝北旱；
- 2016年初，非洲南部持续严重干旱；

# 全球大宗粮油作物主产区农情遥感监测



■ 表 2.1 全球农业主产区 2015 年 10 月-2016 年 1 月与过去 14 年 (14YA) 同期农业气象指标

	累积降水		平均温度		累积光合有效辐射	
	当前季 (mm)	距平 (%)	当前季 (°C)	距平 (°C)	当前季 (MJ/m <sup>2</sup> )	距平 (%)
非洲西部	227	9	26.4	-0.9	962	1
南美洲	782	39	23.5	-0.6	1005	-7
北美洲	375	56	8	1.9	432	-8
南亚与东南亚	194	1	23.3	0.5	795	0
欧洲西部	204	-13	8	0.2	262	-4
欧洲中部和俄罗斯西部	182	10	1.2	0.3	198	-3

■ 表 2.2 全球农业主产区 2015 年 10 月-2016 年 1 月与近 5 年 (5YA) 同期农情指标

	潜在生物量(gDM/m <sup>2</sup> )		耕地种植比例		最佳植被状况指数	
	当前季	距平 (%)	当前季	距平 (%)	当前季	距平 (%)
非洲西部	706	-1	83	0	0.85	
南美洲	1944	14	98	9	0.87	
北美洲	982	37	83	2	0.77	
南亚与东南亚	520	-8	85	-2	0.79	
欧洲西部	888	-10	91	-1	0.89	
欧洲中部和俄罗斯西部	683	1	83	-1	0.69	

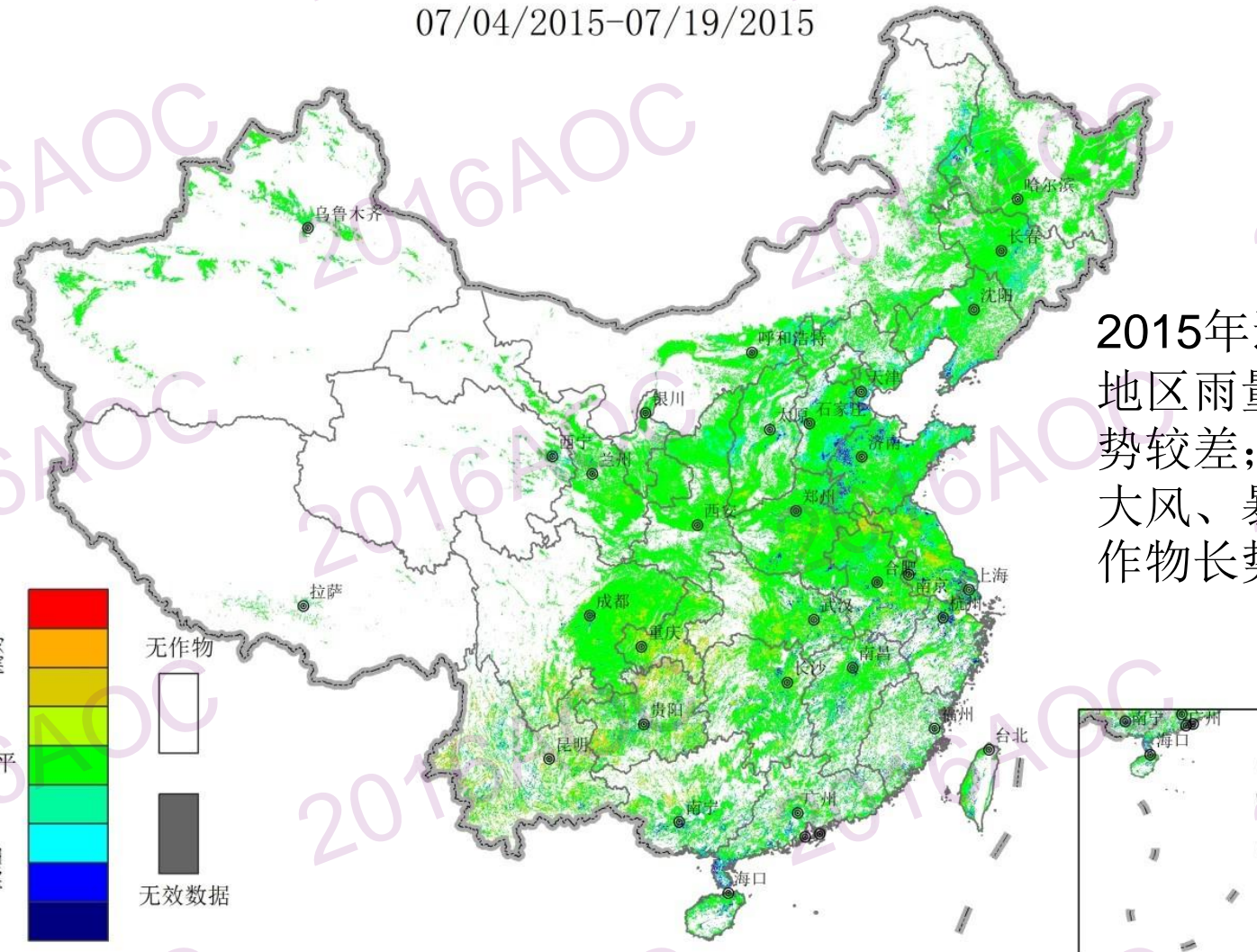
➤ 2015年秋季，冬小麦播种以来，欧洲西部主产区降水偏少，作物生长受到一定胁迫，南亚与东南亚主产区仍未从前期干旱中恢复

# 2015年中国农作物长势



## 中国作物长势（与近5年平均对比）

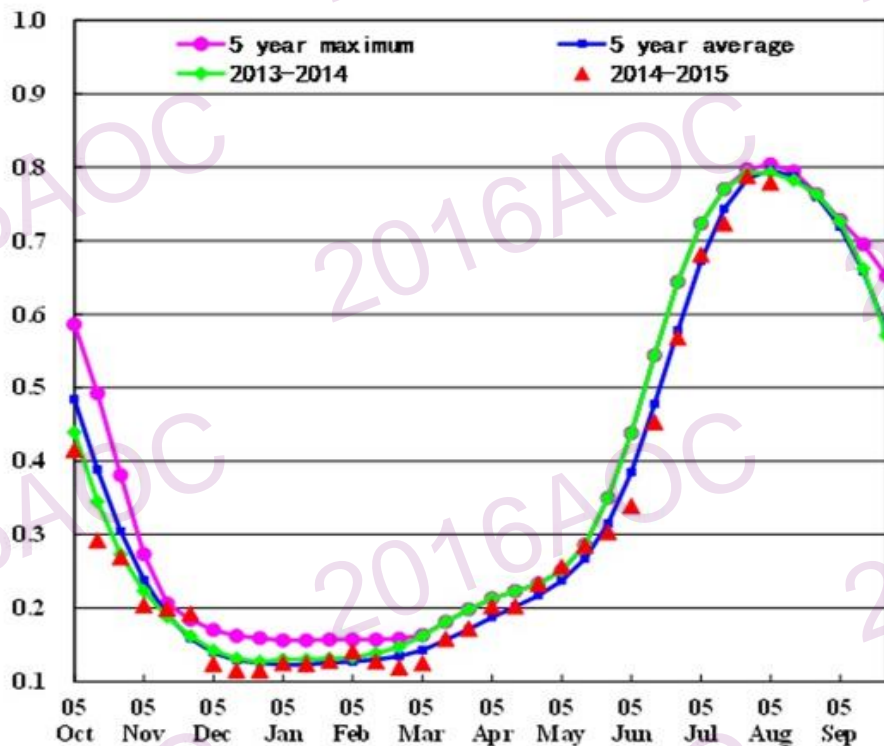
07/04/2015–07/19/2015



2015年辽宁及山东半岛地区雨量偏少，玉米长势较差；山东西北部受大风、暴雨天气影响，作物长势不及平均水平

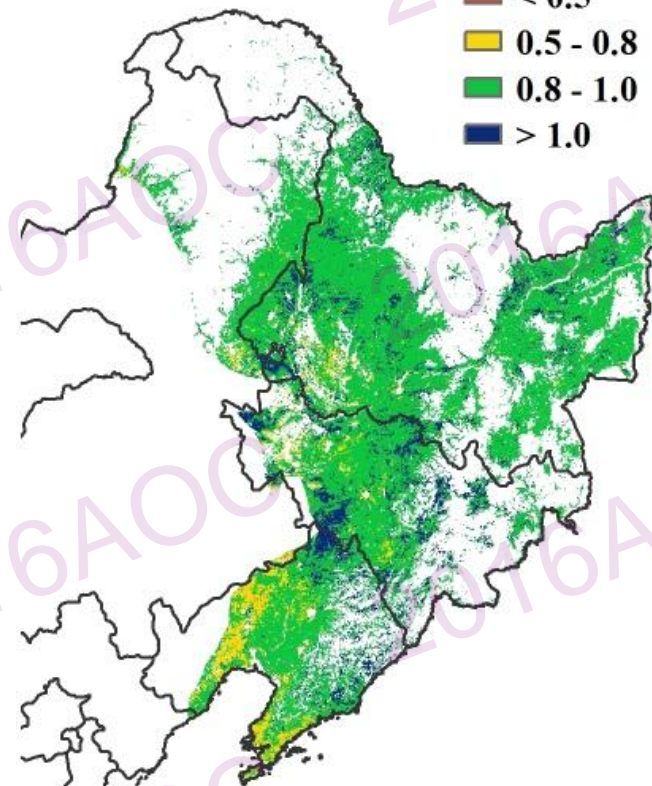
# 中国作物长势监测结果

东北区



作物生长过程线

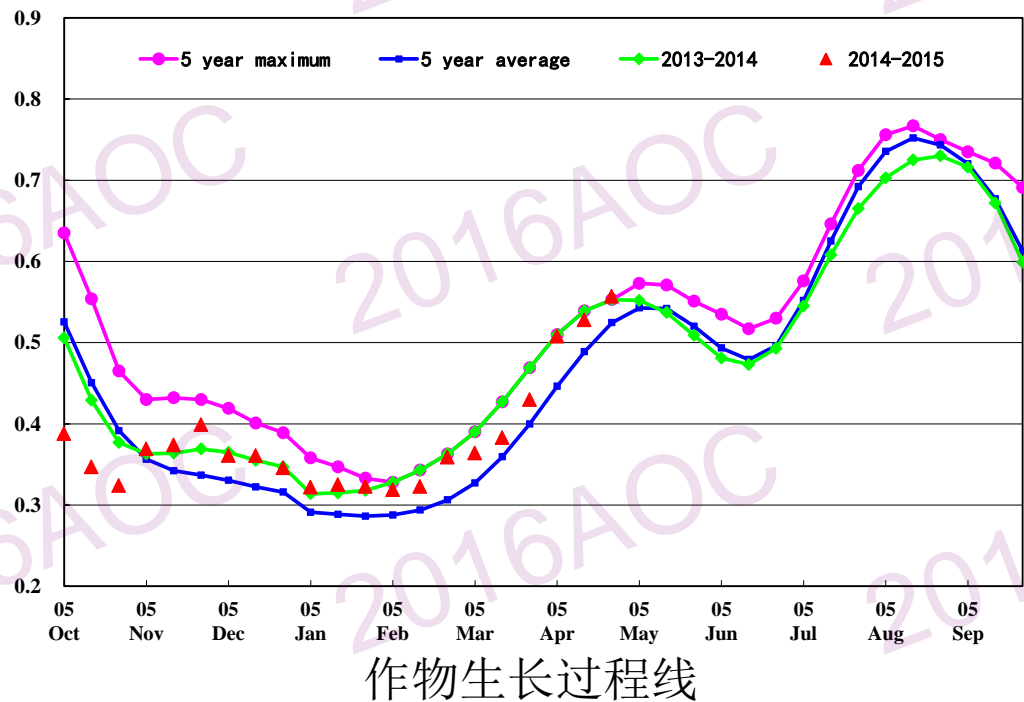
- 2015年作物长势总体和近5年平均水平持平，辽宁西部地区受降水偏少影响，作物长势稍差。



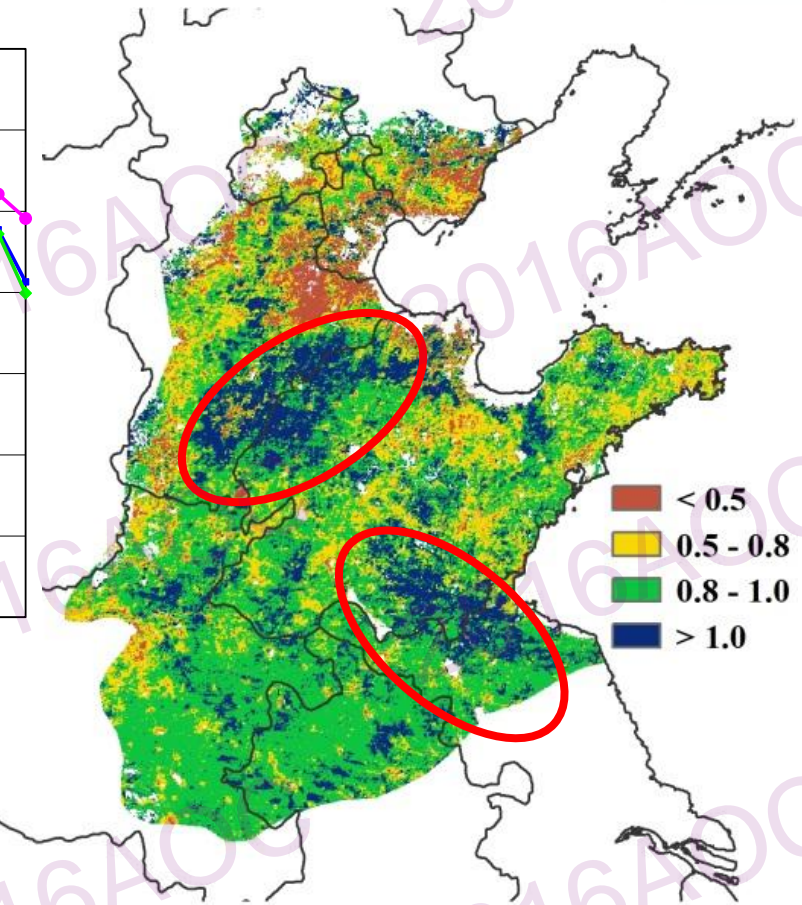
4月~7月最佳植被状况指数

# 中国作物长势监测结果

黄淮海区



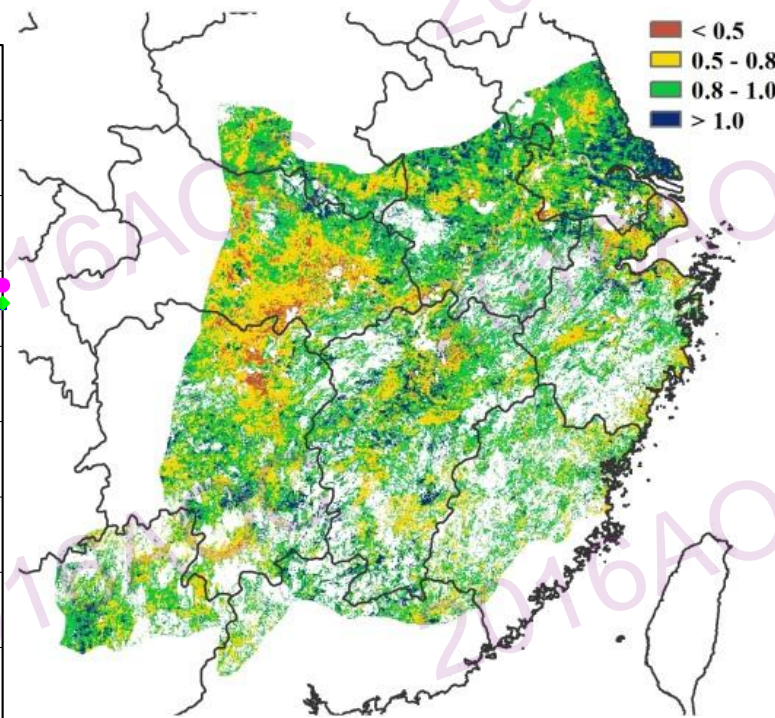
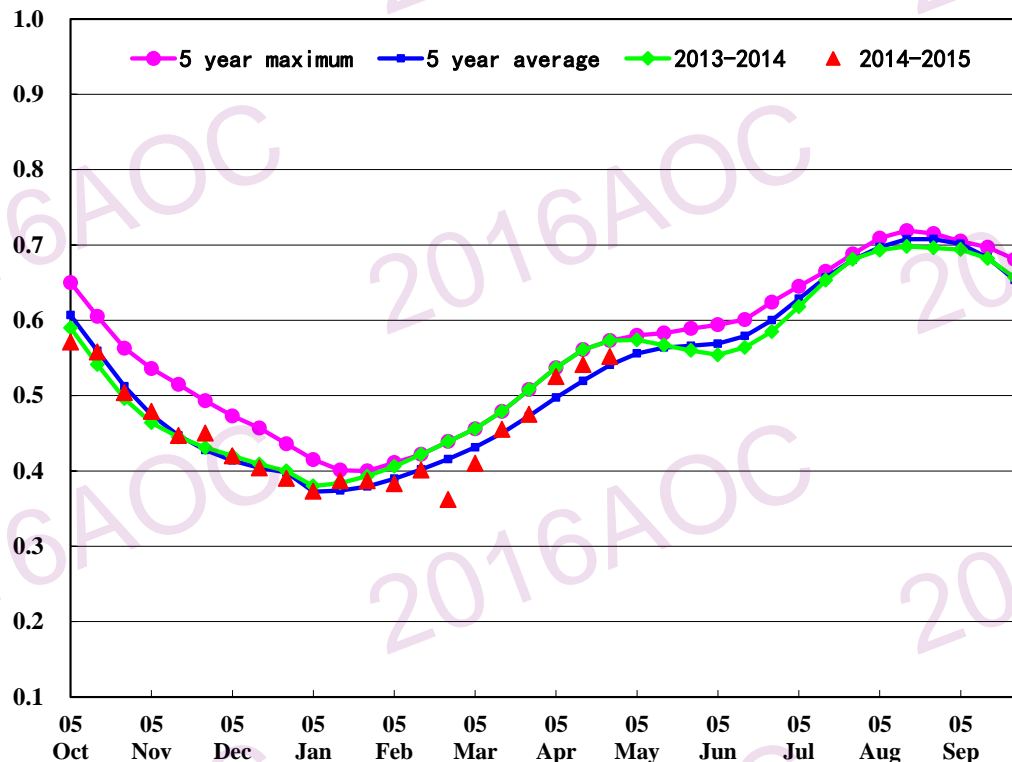
- 黄淮海区作物长势总体好于去年和近5年平均水平；
- 江苏和山东交界、山东与河北交界邻近区域作物长势明显偏好；



1月~4月最佳植被状况指数

# 中国作物长势监测结果

## 长江中下游区



- 作物长势总体正常，湖北中南部处于平均水平之下，安徽、江苏作物长势良好。

# 中国夏粮作物产量监测结果

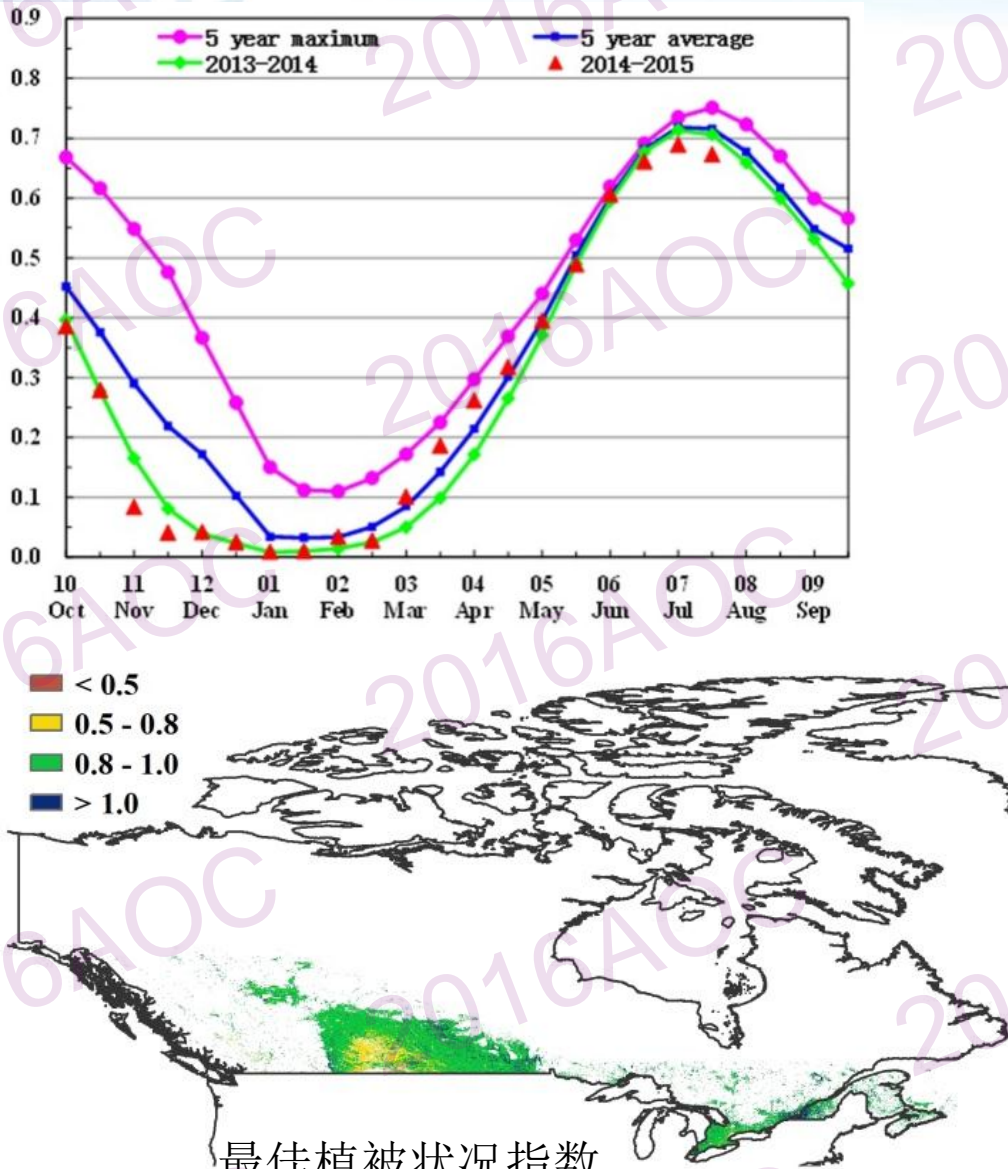
表 4.5 2015 年中国玉米、水稻、小麦和大豆产量及其同比变幅

	玉米		水稻		小麦		大豆	
	2015	Δ(%)	2015	Δ(%)	2015	Δ(%)	2015	Δ(%)
安徽	359.8	-0.9	1736.9	1.3	1124.5	-1.1	110.9	1.0
重庆	216.2	3.0	488.7	2.1	111.8	-0.1		
福建			288.1	2.5				
甘肃	481.5	4.6			160.7	-0.9		
广东			1103.7	-0.3				
广西			1126.8	2.6				
贵州	495.2	-1.0	521.9	1.4				
河北	1725.1	6.2			1073.0	1.1	18.0	4.8
黑龙江	2592.0	-1.5	2030.4	0.4			458.1	-0.1
河南	1677.5	4.8	394.0	1.1	2599.2	0.9	77.4	5.0
湖北			1600.1	0.6	432.8	-2.7		
湖南			2535.3	-0.2				
内蒙古	1426.3	-0.7					82.7	-1.1
江苏	224.9	1.0	1697.0	2.4	960.6	1.1	79.2	1.4
江西			1741.5	0.3				
吉林	2429.5	1.1	506.9	0.9			66.9	1.4
辽宁	1275.5	-1.0	483.1	2.6			51.6	0.9
宁夏	172.6	-4.0	54.2	-0.6				
陕西	364.0	-5.9	105.3	1.2	399.7	1.1		
山东	1882.4	2.6			2288.1	4.5	67.7	2.7
山西	877.1	-8.6			210.9	0.7	17.3	-7.6
四川	717.8	1.1	1488.6	1.4	467.3	1.7		
新疆	663.4	3.3						
云南	581.6	3.6	531.6	-0.3				
浙江			645.5	-0.2				
小计	18162.5	0.8	19079.5	0.9	9828.6	1.4	1029.8	0.7
其他省份*	1210.9	2.6	1153.1	-4.4	1563.9	2.4	271.5	-4.8
中国总计*	19373.4	0.9	20232.5	0.6	12161.3	1.6	1301.4	-0.5

\*注：台湾省产量未计入其中。

- 全年粮食总产量**56808** 万吨，较 2014 年增加 **0.8%**（增加 **431** 万吨），较 8 月份的预测值增加 **38** 万吨；
- 秋粮总产量为 **40726** 万吨，较 2014 的干旱年增长为 **0.6%**（约为 **242** 万吨），略高于 2013 年的秋粮产量；
- 2015 年玉米产量预计值修正为 **19373.4** 万吨，较 2014 年增产 **0.9%**；
- 水稻和小麦总产与 8 月份的预测值相同，分别比去年增加 **0.6%** 和 **1.6%**；
- 大豆产量预测为 **1301.4** 万吨，较 2015 年 8 月份的预测增加 **32** 万吨，

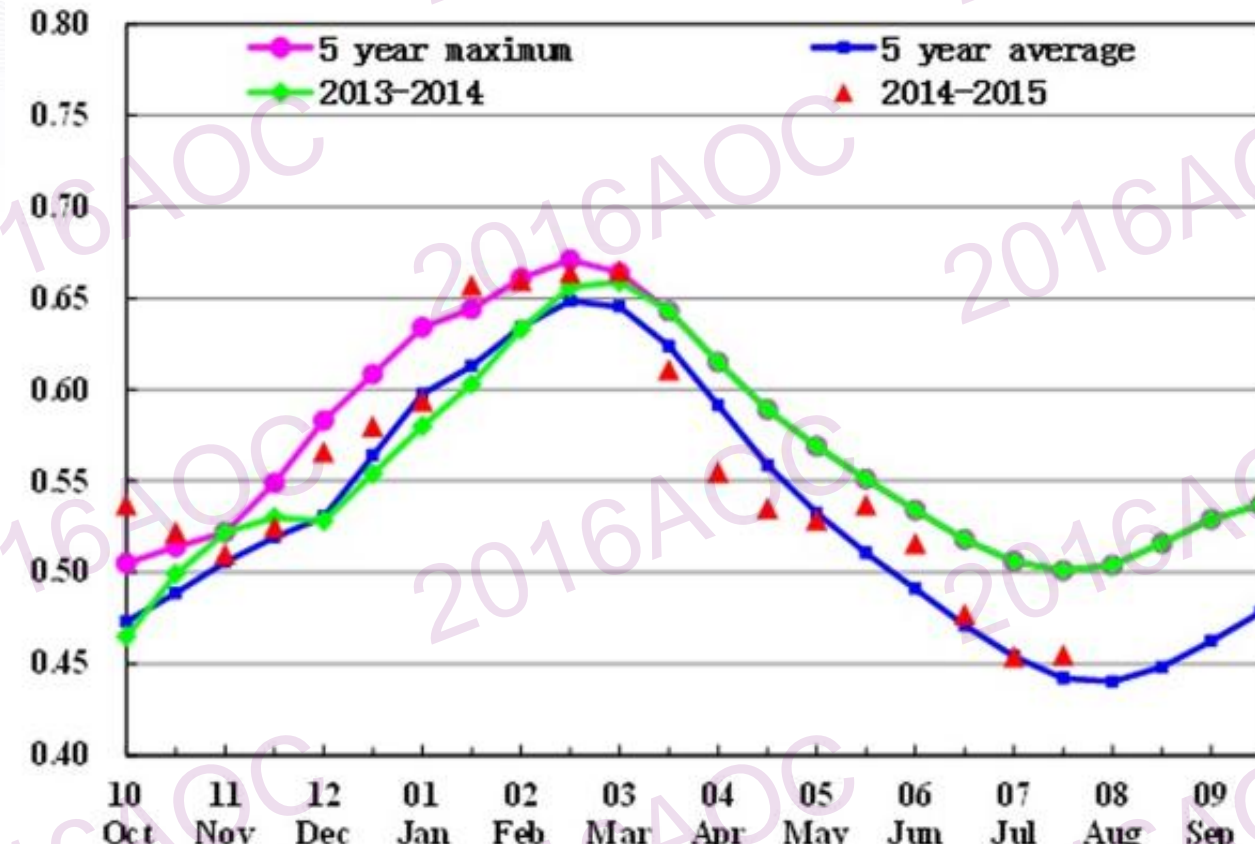
# 加拿大小麦



- 主产省份降水偏低 25%，对雨养农业造成致命打击

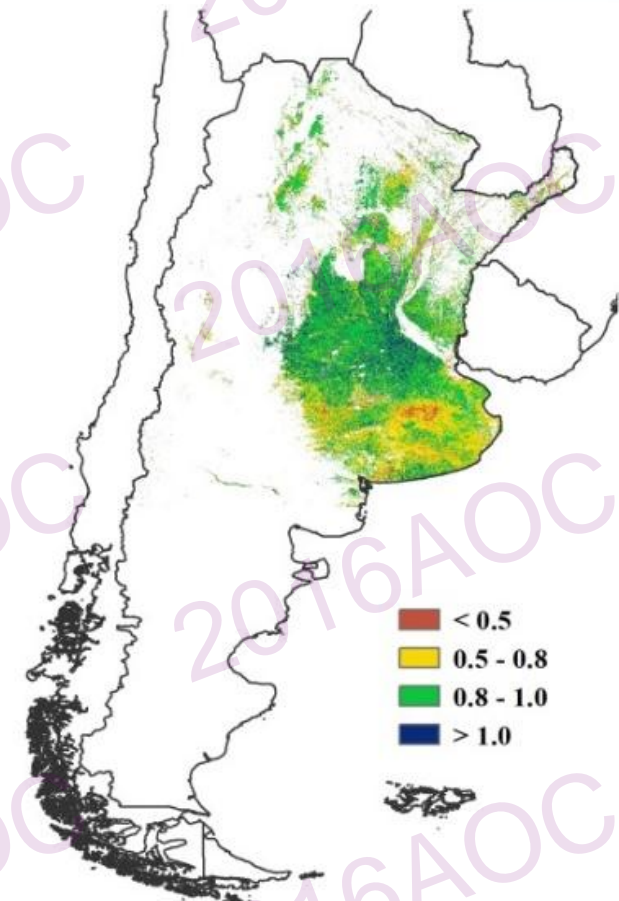
	2014	2015	变幅
阿尔伯塔	9349	8290	-11
曼尼托巴	3659	3654	0
昂特利尔	1750	1714	-2
萨斯喀彻温	14158	13055	-8
小计	28916	26713	-8
其他	4371	4428	1
加拿大	33287	31141	-6

# 阿根廷作物长势



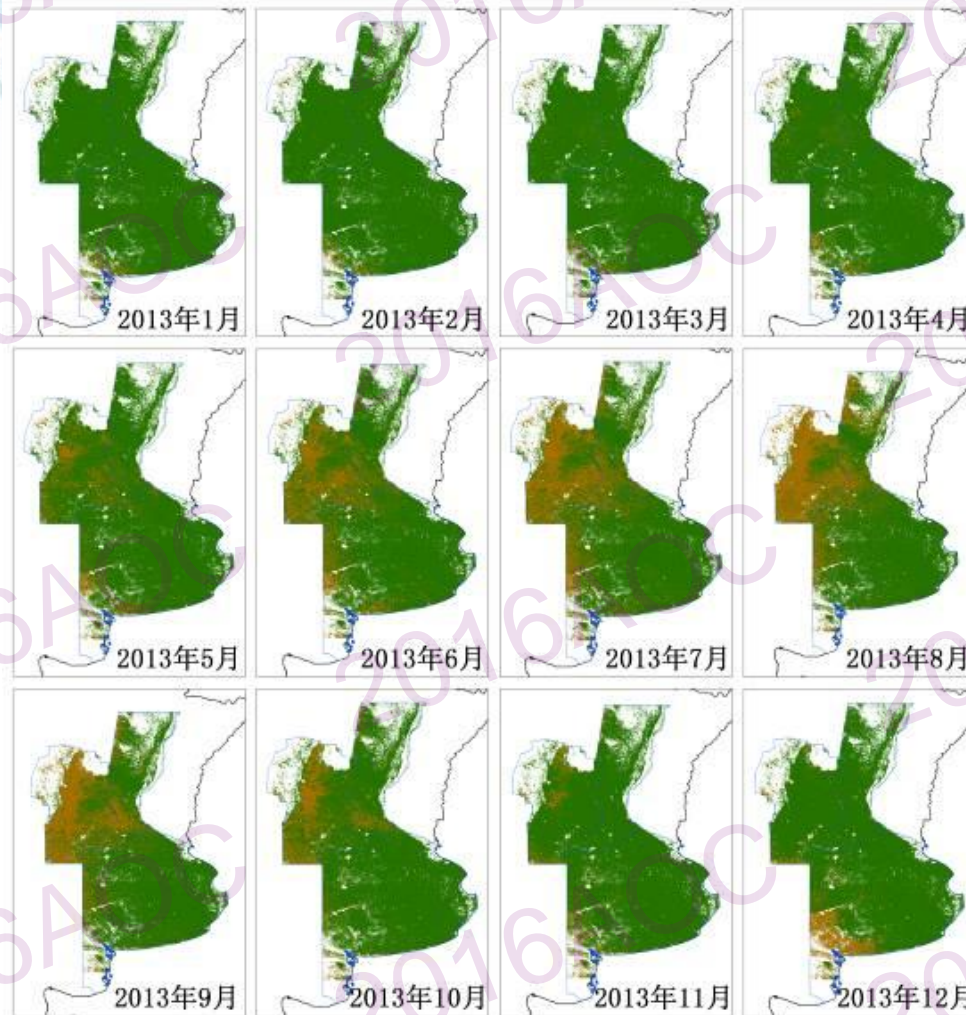
阿根廷作物生长过程线

1-4月最佳植被状况指数

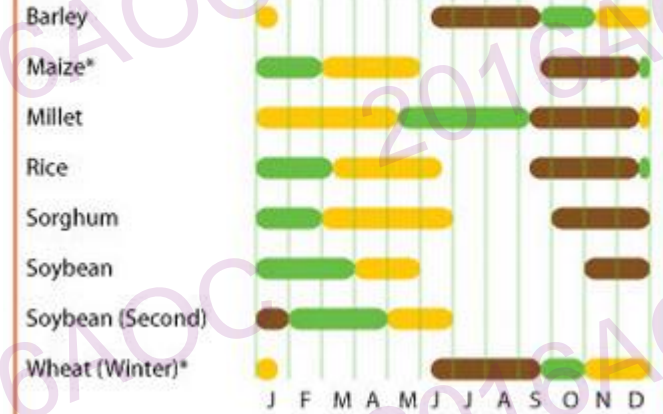


# 阿根廷作物面积

➤ 总体精度97%



Argentina  
Crop calendar (\*major foodcrop)

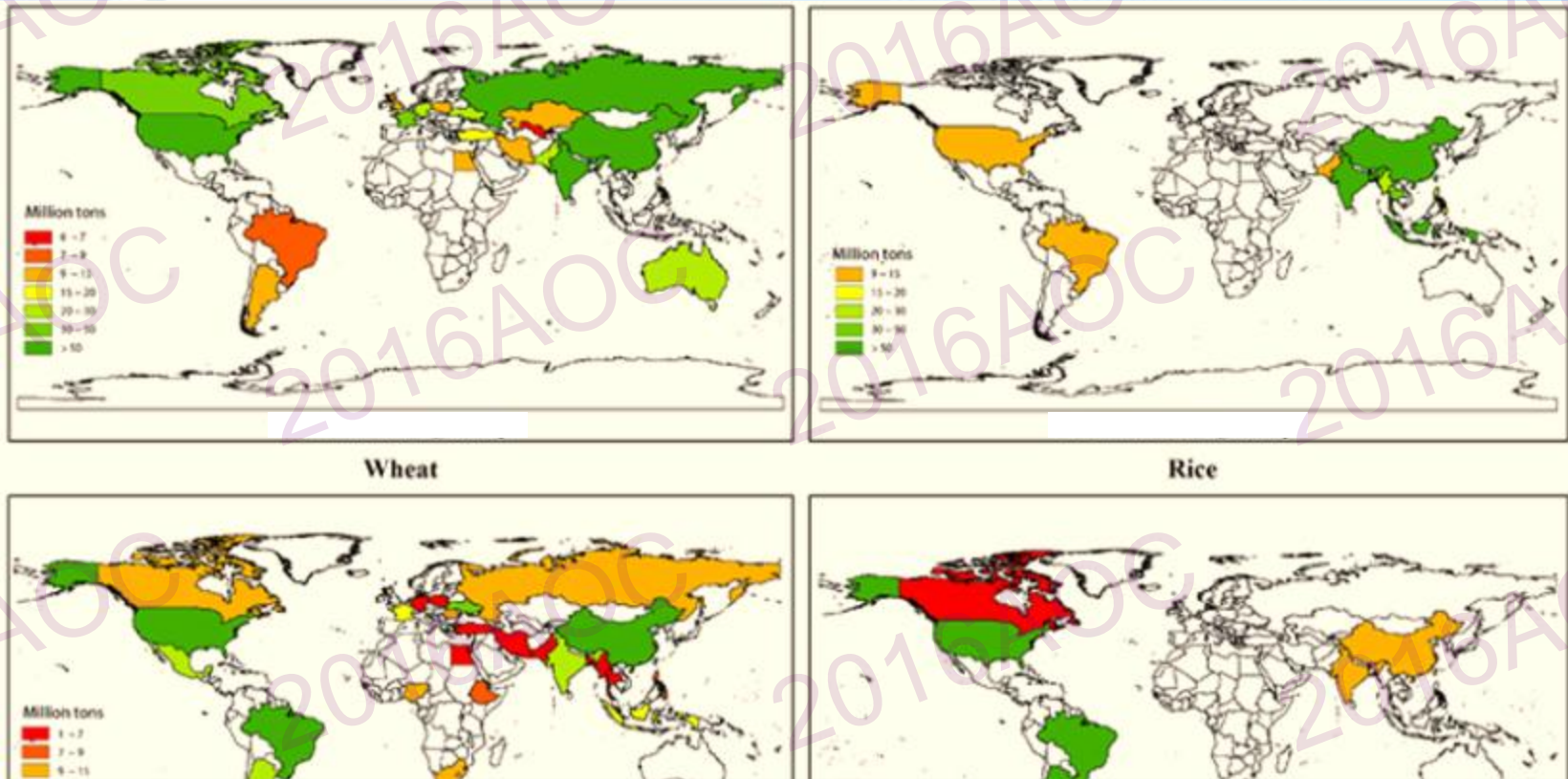


➤ 将作物物候与耕地利用状况动态变化作为输入，实现不同作物种植区的识别

# 阿根廷作物产量

	玉米		大豆	
	2015	Δ%	2015	Δ%
布宜诺斯艾利斯	714	0.3	1506	-1.3
科尔多瓦	705	1.3	1205	0.7
恩特雷里奥斯省	111	-2.7	328	-1.6
圣路易斯省	111	6.1		
圣菲省	422	1.3	1047	0.1
圣地亚哥-德尔埃斯特罗省	122	1.0		
小计	2185	1.0	4086	-0.4
其余省份	348	1.1	1137	-0.5
阿根廷	2533	1.0	5223	-0.4

# 世界主产国 作物产量分析



2015 年全球大宗粮油作物总产量 27.65 亿吨，与 2014 年基本持平：

- 2015 年全球玉米产量 9.90 亿吨，与 2014 年基本持平；
- 水稻产量为 7.42 亿吨，同比小幅下降 0.1%；
- 小麦产量为 7.24 亿吨，同比增长 0.3%；
- 大豆产量为 3.09 亿吨，同比增长 1%；

# 粮食价格预警结果

- 2016年2月依据2015年12月前的价格和产量数据，预测2016年初中国玉米已经进入底部转折期，玉米价格近期有望反弹。



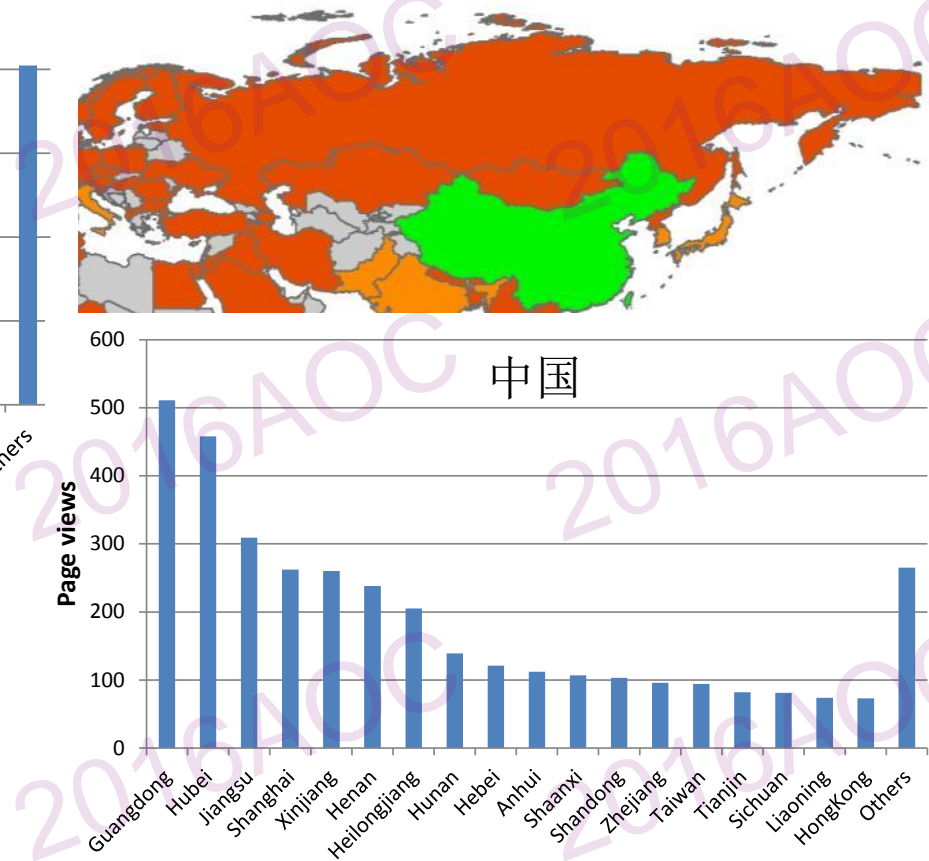
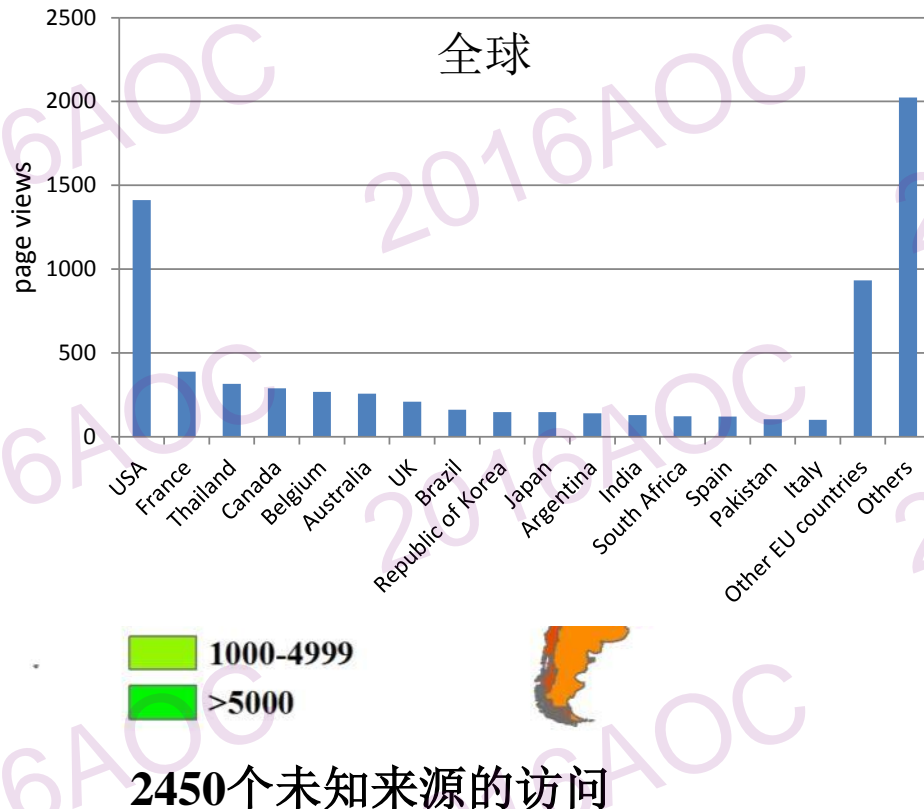
注：图中白色曲线是价格和消费率，黄色曲线是价格采集20周移动平均线。上下边界（实线和虚线）是价格预测模型输出数据。

- 大连商品交易所玉米现货月结算价，从2015年11月的每吨1755元回升到了当前的2000元附近；与预测趋势一致。

# CropWatch 农情监测报告发布网站



- 全球110多个国家的相关人员访问CropWatch网站



# CropWatch 农情监测报告发布

<http://www.cropwatch.com.cn>

The screenshot shows the CropWatch website's homepage. At the top is the CropWatch logo with a stylized green and yellow leaf. Below it is a green navigation bar with links like '首页', '关于', '通报', '方法', '出版物', and '联系我们'. The main content area has two large sections. The left section is titled '全球农情速报 (2014年2月期)' and features a map of the world with crop status. The right section is titled 'CropWatch 数据分析' and includes a diagram of a pyramid labeled 'CropWatch 等级划分方法'.

This screenshot displays several pages from the CropWatch website. The top banner features the CropWatch logo and a satellite over a field. The '首页' (Home) page has a green header with links for '首页', '关于', '通报', '方法', '出版物', '联系我们', 'English', and '中文'. Below is a 'Global Crop Report' thumbnail and a '前往通报页面' (View Report) button. The '关于我们' (About Us) page shows a group photo of the team and a detailed description of the system. The '通报' (Report) page shows a stack of reports and a '订阅邮件' (Email Subscription) button. The '出版物' (Publications) page shows a magazine cover and a hand holding a magnifying glass over a document. The bottom footer contains the RADI logo and the website address 'www.radi.cas.cn'.

版权所有：中国科学院遥感与数字地球研究所数字农业研究室

地址：北京市朝阳区北辰西路奥运科技园区

邮政编码：100101 电话：+8610-64842375/6 传真：+8610-64858721

邮箱：cropwatch@radi.ac.cn 京ICP证：05080539-16



[www.radi.cas.cn](http://www.radi.cas.cn)

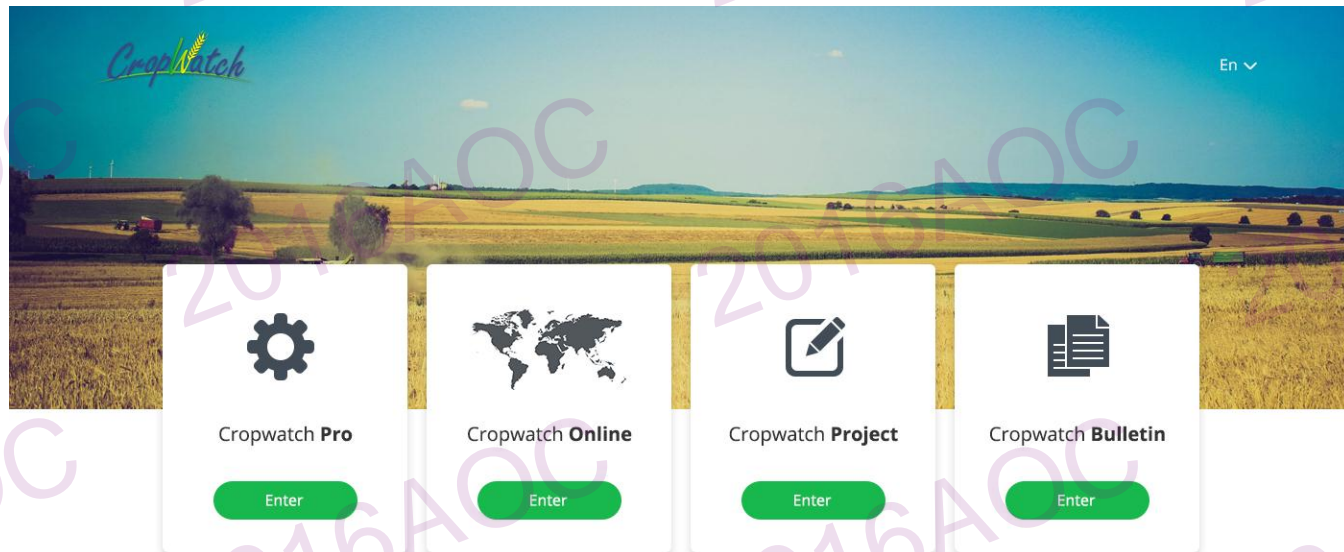


云平台



# 全球农情信息监测平台

- 包括通报发布网站（已发布多年）、产品在线展示平台（公开测试一年个月）、农情速报分析平台以及CropWatch产品生产云平台



## Contact

Address Chaoyang District, Beijing Phone +8610-64842375/6  
Email [cropwatch@radi.ac.cn](mailto:cropwatch@radi.ac.cn) Fax +8610-64858721

Institute of Remote Sensing and Digital Earth (RADI)  
Chinese Academy of Sciences (CAS)



[www.radi.cas.cn](http://www.radi.cas.cn)



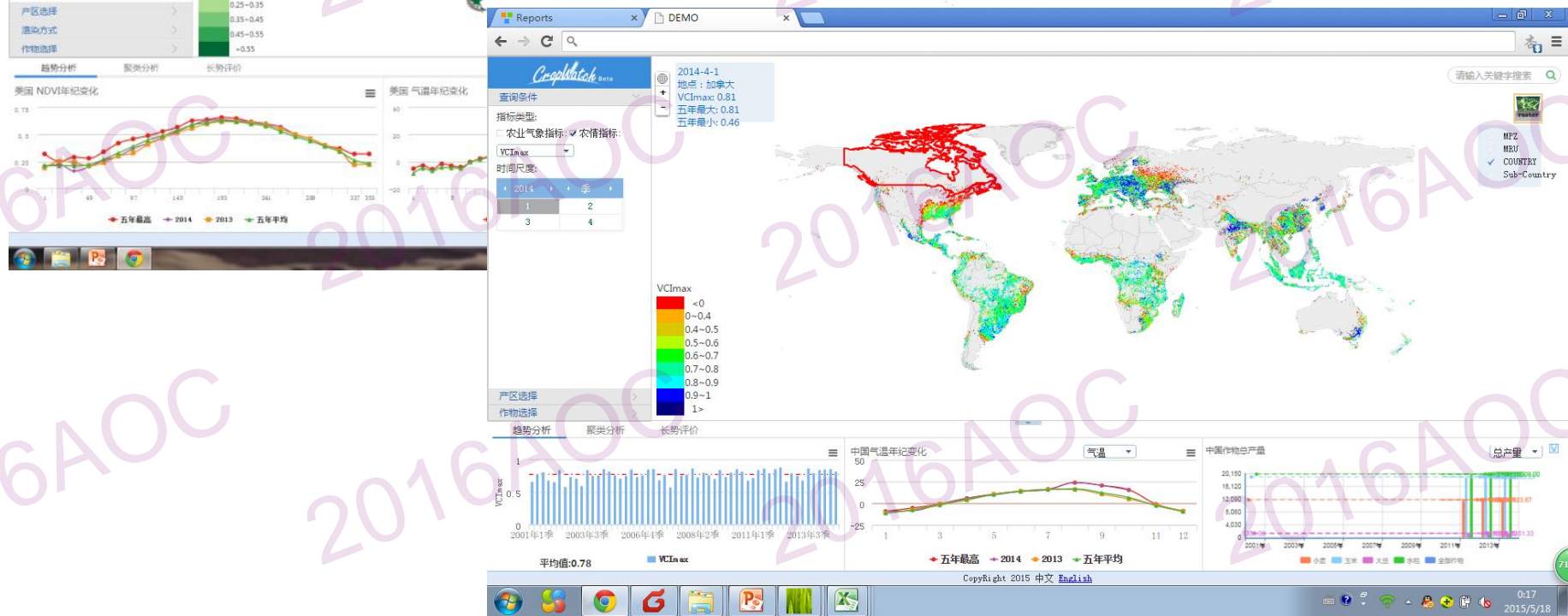
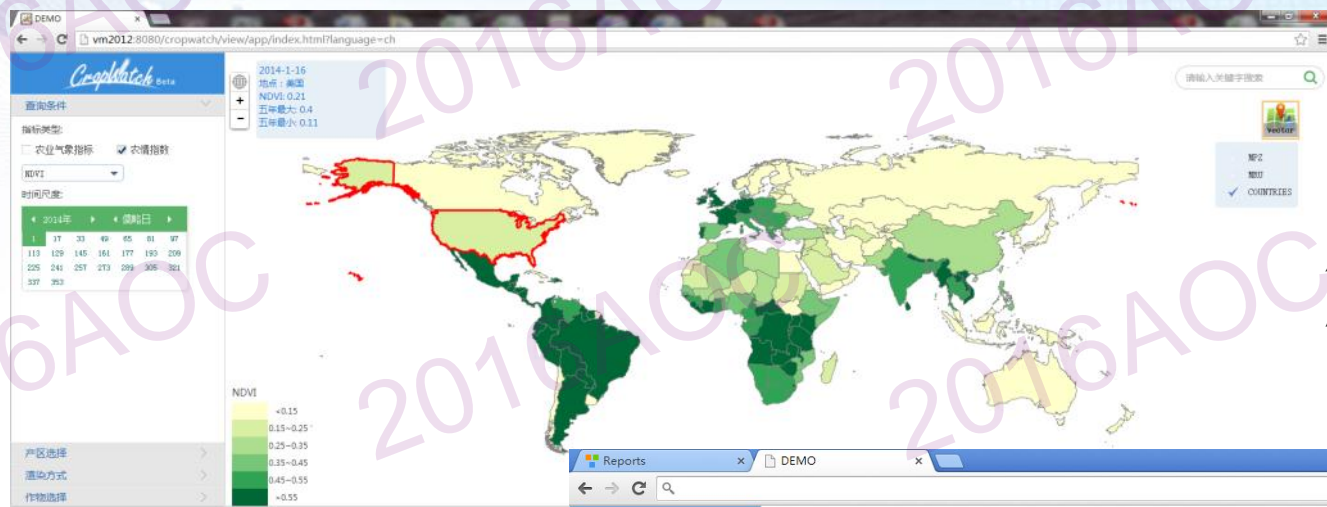
# CropWatch产品生产云平台

The screenshot shows the CropWatch Pro interface. On the left, there's a section titled "数据预处理" (Data Preprocessing) containing a grid of nine colored boxes representing various processing steps: 格式转换 (Format Conversion), 投影转换 (Projection Transformation), 光谱融合 (Spectral Fusion), 矢量转栅格 (Vector to Raster), 影像拼接 (Image Stitching), 光谱融合质量评价 (Spectral Fusion Quality Evaluation), 影像裁剪 (Image Cropping), HJ星自动纠正 (Automatic Correction of HJ Satellite Images), 波段组合 (Band Combination), and 时空融合 (Temporal-Spatial Fusion). To the right of this is a "环境指数" (Environmental Index) section with three stacked bars: 光合有效辐射 (Photosynthetically Active Radiation), 平均气温 (Average Temperature), and 累积降雨 (Cumulative Precipitation). Below these sections is a "系统菜单" (System Menu) with eight items: 降雨量 (Precipitation), 相对湿度 (Relative Humidity), 状态监控 (Status Monitoring), 数据管理 (Data Management), 新增任务 (Add Task), 任务查询 (Task Query), 服务器状态 (Server Status), and 待办事项 (Pending Tasks).

The screenshot shows the CropWatch product production cloud platform. At the top, there's a navigation bar with a user profile and a "注销" (Logout) button. Below it is a toolbar with icons for 雨量 (Rainfall), 相对湿度 (Relative Humidity), 状态监控 (Status Monitoring), 数据管理 (Data Management), 新增任务 (Add Task), 任务查询 (Task Query), 服务器状态 (Server Status), and 待办事项 (Pending Tasks). The main area features a "24小时降雨量统计" (24-hour Rainfall Statistics) chart with three stacked bars for each hour, representing 正常 (Normal), 黄色预警 (Yellow Alert), and 红色预警 (Red Alert). To the right of the chart is a "模块介绍" (Module Introduction) box explaining the rainfall monitoring system. At the bottom, there's a "参数设置" (Parameter Settings) section with date pickers for 起始时间 (Start Time) and 结束时间 (End Time), and a blue "查询" (Query) button.



# CropWatch产品在线展示平台



所有记录都存放在数据库中，提供在线浏览

# CropWatch产品在线展示平台



# 粮食价格

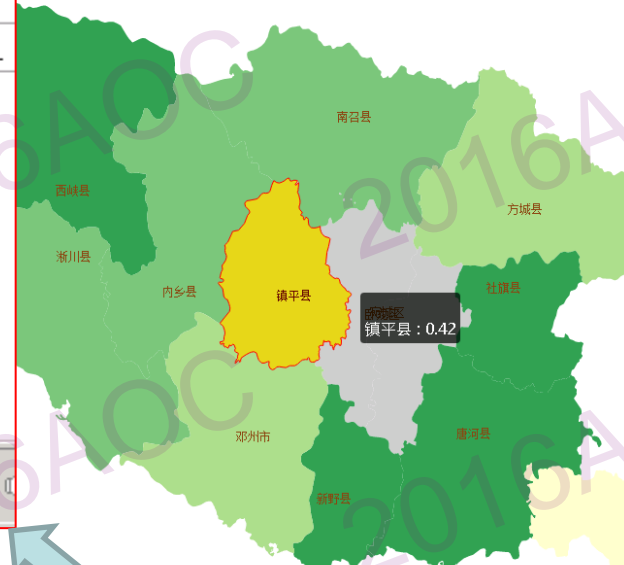
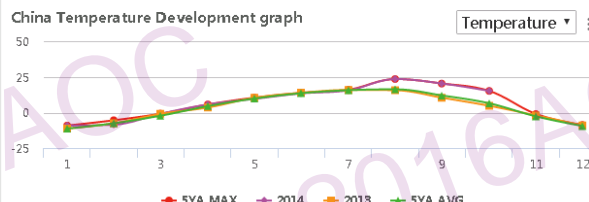
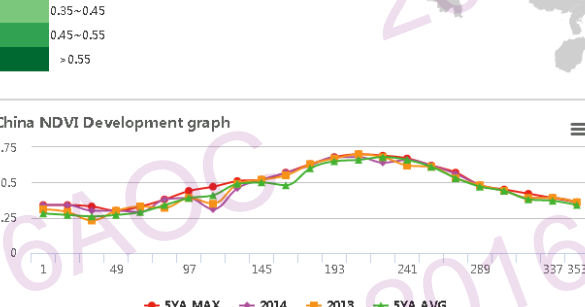
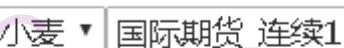
 CropWatch Beta

English ✓

世界 中国

### Query

Zone



镇平县：0.



# CropWatch在线分析平台

允许用户在线分析

The screenshot displays the CropWatch online analysis platform interface. At the top, there is a world map with a green overlay indicating crop distribution. Below the map, a central window shows a 'Report 2015年5月全球' (Report 2015 May Global) with a 'Create Chapter' dialog open. The dialog has fields for 'Chapter Name' (Introduction) and 'Editor' (newton). To the right, a user profile for 'newton' is shown. On the left, a sidebar menu includes 'Report Management', 'Reports', 'Works', and 'Auth'. The main content area is divided into four sections: 'Chapter 1. Global agroclimatic patterns', 'Chapter 2. Crop and environmental conditions in major production zones', 'Chapter 3. Main producing and exporting countries', and 'Chapter 4. China'. Each section contains a table with columns for '#', 'Section', 'Author', 'Status', and 'Options'. The status column for most entries is 'Accepted'.

#	Section	Author	Status	Options
1	Global agroclimatic patterns	newton	Accepted	
1	Overview	newton	Created	
2	West Africa	newton	Accepted	
3	North America	minghao	Accepted	
4	South America	Miao	Accepted	
5	South and Southeast Asia	minghao	Accepted	
6	Western Europe	zhuowei	Accepted	
7	Central Europe to Western Russia	Minghao	Accepted	

#	Section	Author	Status	Options
1	Overview	newton	Accepted	
2	Argentina	Miao	Accepted	
3	Australia	minghao	Accepted	
4	Bangladesh	minghao	Accepted	
5	Brazil	Miao	Accepted	

#	Section	Author	Status	Options
1	Overview	Miao	Zhengyang	Accepted
2	Move this section into Section 1, overview	Miao		Created
3	Northeast region	tushan		Accepted
4	Inner Mongolia	Changpeng		Accepted
5	Huanghuaihai	xjx		Accepted

# 謝謝！



中国科学院遥感与数字地球研究所

地址：北京市海淀区邓庄南路9号（100094）

电话：86-10-82178008 传真：86-10-82178009

邮箱：office@radi.ac.cn

网址：www.radi.cas.cn